

SPIS ZAWARTOŚCI OPRACOWANIA

I	LISTA RYSUNKÓW.....	2
II.	CZĘŚĆ WSTĘPNA.....	3
1.1.	ZAKRES OPRACOWANIA.....	3
1.2.	MATERIAŁY WYKORZYSTANE W OPRACOWANIU.....	3
1.3.	LOKALIZACJA OBIEKTU.....	3
1.4.	OPIS OGÓLNY BUDYNKU	3
1.5.	OBCIĄŻENIA KLIMATYCZNE.....	3
1.6.	OGÓLNE WYTYCZNE DOTYCZĄCE WZNOSZENIA BUDYNKU.....	4
2.1.	PROJEKT GEOTECHNICZNY	5
2.2.	WARUNKI GRUNTOWO – WODNE.....	5
2.3.	OPINIA GEOTECHNICZNA	10
3.1.	ELEMENTY KONSTRUKCYJNE.....	10
III.	OBLICZENIA STATYCZNE – WYTRZYMAŁOŚCIOWE.....	13
IV.	DOBÓR KOTEW CHEMICZNYCH	32
V.	RYSUNKI.....	52

OPIS TECHNICZNY

PROJEKT BUDOWY BUDYNKU PORADNI PSYCHOLOGICZNO – PEDAGOGICZNEJ W DOBRZEJEWICACH

I.LISTA RYSUNKÓW.

Nr rys.	Tytuł rysunku	Skala	Rewizja	Data
001	SCHEMAT KONSTRUKCJI FUNDAMENTÓW	1:100	-	13.12.2019
002	SCHEMAT KONSTRUKCJI PRZYZIEMIA	1:100	-	13.12.2019
003	SCHEMAT KONSTRUKCJI ATTYK	1:100	-	13.12.2019
004	PRZEKRÓJ KONSTRUKCYJNY A-A; KŁAD ŚCIANY W OSI „A” PRZEKROJE LOKALNE ATTYK 1-1; 2-2	1:50 / 1:25	-	13.12.2019
005	ŁAWY I STOPY FUNDAMENTOWE ZBROJENIE I SZALUNEK	1:25	-	13.12.2019
006	BELKA ŻELBETOWA B-1 ZBROJENIE I SZALUNEK	1:50 / 1:25	-	13.12.2019
007	BELKI ŻELBETOWE B-2, B-3 ZBROJENIE I SZALUNEK	1:50 / 1:25	-	13.12.2019
008	SŁUPY, RDZENIE, ŚCIANY ŻELBETOWE ZBROJENIE I SZALUNEK	1:50 / 1:25	-	13.12.2019
009	NADPROŻA, WIEŃCE ZBROJENIE	1:25	-	13.12.2019
010	ZBROJENIE STROPU NAD PARTEREM	1:100 / 1:25	-	13.12.2019
011	PODKONSTRUKCJA STALOWA OKIEN W OSI „A”	1:20 / 1:10	-	13.12.2019
012	PODKONSTRUKCJA STALOWA ZADASZENIA WEJŚCIA	1:20 / 1:10	-	13.12.2019

II.CZĘŚĆ WSTĘPNA.

1.1. ZAKRES OPRACOWANIA.

Przedmiotem opracowania jest projekt budowlany – wykonawczy konstrukcyjny pt: „Budowa budynku poradni psychologiczno-pedagogicznej w Dobrzejewicach, nr działki: 194/7, obręb: 0002 Dobrzejewice, jed. ewid.: 041507_2 Obrowo, powiat: toruński, województwo: kujawsko-pomorskie”. Dokumentacja stanowi projekt budowlany – wykonawczy elementów konstrukcyjnych wymienionej inwestycji.

1.2. MATERIAŁY WYKORZYSTANE W OPRACOWANIU.

- 1. Projekt budowlany architektoniczny**
- 2. Uzgodnienia z inwestorem**
- 3. Opinia geotechniczna autorstwa „GEOsolutions” Tomasz Michałek**
- 4. Literatura, normy branżowe oraz obowiązujące przepisy państwowe i resortowe**

- PN-B-03264:1999 Konstrukcje betonowe, żelbetowe i sprężone. Obliczenia statyczne i projektowanie.
- PN-B-03264:2002 Konstrukcje betonowe, żelbetowe i sprężone. Obliczenia statyczne i projektowanie.
- PN-B-03200:1990 Konstrukcje stalowe. Obliczenia statyczne i projektowanie.
- PN-80/B-02000 Obciążenia budowli. Zasady ustalania wartości.
- PN-80/B-02001 Obciążenia stałe. Obciążenia budowli.
- PN-80/B-02010 Obciążenie śniegiem. Obciążenia w obliczeniach statycznych.
- PN-80/B-02010/Az1 Obciążenie śniegiem, zmiana polskiej normy.
- PN-82/B-02004 Obciążenia budowli – Obciążenia zmienne technologiczne – Obciążenia pojazdami.
- PN-EN 1991-1-3 Eurokod1 Oddziaływania na konstrukcję. Obciążenia śniegiem.
- PN-77/B-02011 Obciążenie wiatrem. Obciążenia w obliczeniach statycznych.
- PN-B-03150-2000 Konstrukcje drewniane. Obliczenia statyczne i projektowanie.
- PN-B-03002-2007 Konstrukcje murowe. Projektowanie i obliczanie.
- Rozporządzenie Ministra Infrastruktury z dnia 12 kwietnia 2002 r. w sprawie warunków technicznych, jakim powinny odpowiadać budynki i ich usytuowanie z późniejszymi zmianami.

1.3. LOKALIZACJA OBIEKTU.

Planowana inwestycja zlokalizowana jest na działce nr 194/7, obręb 0002 położonej w miejscowości Dobrzejewice, gmina Obrowo.

1.4. OPIS OGÓLNY BUDYNKU

Budynek niepodpiwniczony, na planie trapezu prostokątnego, z jedną kondygnacją naziemną. Wymiary osiowe budynku to 21x8,89 ÷ 21x11,6m. Budynek projektuje się w technologii tradycyjnej murowanej. Budynek posadowiony bezpośrednio na ławach i stopach fundamentowych. Przyjęto układ konstrukcyjny, który stanowią ściany konstrukcyjne usztywnione układem rdzeni i wieńców żelbetowych. Nadproża i belki: żelbetowe monolityczne. Stropodach żelbetowy, grubości 15/20cm (zgodnie z częścią graficzną opracowania).

1.5. OBCIĄŻENIA KLIMATYCZNE.

OBCIĄŻENIE WIATREM – I strefa wg PN-EN 1991-1-4

PRZEMARZANIE – $h_z=1,00m$ wg PN-81/B-3020.

OBCIĄŻENIE ŚNIEGIEM – II strefa wg PN-EN 1991-1-3

1.6. OGÓLNE WYTYCZNE DOTYCZĄCE WZNOSZENIA BUDYNKU

- Podczas realizacji robót należy uwzględniać instrukcje producenta materiałów oraz przepisy związane i obowiązujące, w tym również te, które uległy zmianie lub aktualizacji. W przypadku istnienia norm, atestów, certyfikatów, instrukcji ITB, aprobat technicznych, świadectw dopuszczenia niewyszczególnionych w niniejszej dokumentacji a obowiązkowych do stosowania, Wykonawca ma obowiązek stosowania się do ich treści i postanowień.
- Wykonawca przed rozpoczęciem robót budowlanych winien jest zapoznać się z treścią kompletnej dokumentacji. Wszystkie projekty branżowe należy rozpatrywać łącznie.
- Przed rozpoczęciem prac ziemnych należy rozpoznać teren i zapoznać się z istniejącym aktualnym uzbrojeniem terenu. Szczególną uwagę należy zwrócić na usytuowanie w obrysie planowanej inwestycji istniejących sieci elektrycznych, kanalizacyjnych, wodociągowych i innych.
- Przy montażu deskowań należy kontrolować jego dokładność sprawdzając:
 - osiowe ustawienie elementu,
 - pionowe ustawienie elementu,
 - wielkość przesunięć w pionie i poziomie.
- Nie wolno przystępować do wykonywania rdzeni i słupów żelbetowych bez wcześniejszego obsypania i zagęszczenia gruntu wokół podstawy fundamentu.
- Wykonywanie elementów żelbetowych należy wykonywać zgodnie z obowiązującymi przepisami BHP. Nie dopuszcza się do wbudowywania elementów, których jakość nie odpowiada warunkom technologicznym i konstrukcyjnym danego elementu. Wszystkie elementy używane przy montażu muszą posiadać odpowiedni atest.
- UWAGA! Wszystkie prace budowlane należy wykonać zgodnie z „Warunkami technicznymi wykonania i odbioru robót budowlano-montażowych” tom I. Budownictwo Ogólne oraz warunki BHP jakie obowiązują w budownictwie.
- Wykonawca zobowiązany jest do zapoznania się ze wszystkimi rozwiązaniami konstrukcyjnymi, szczegółami i detalami niezbędnymi do bezpiecznego i prawidłowego wznoszenia budowli.
- Przy rozwiązaniach systemowych należy stosować się do wytycznych producenta.
- Przy wykonywaniu elementów żelbetowych konieczny jest każdorazowy odbiór zbrojenia potwierdzony wpisem do dziennika budowy.
- Wykonawca powinien zapoznać się z Opinią geotechniczną i zastosować zalecenia w niej zawarte.
- Po wykonaniu fundamentów oraz ich obciążeniu należy kontrolować ich osiadanie. W przypadku zauważenia osiadania większego niż dopuszczalne bezzwłocznie należy powiadomić autorskie biuro projektów.
- Roboty ziemne należy prowadzić pod nadzorem uprawnionego geologa. Niezbędne jest przeprowadzenie geotechnicznych odbiorów wykopów dla posadowienia fundamentów, a także badania zagęszczenia i nośności nasypów budowlanych.
- Osie modularne powinny być naniesione w sposób geodezyjny i potwierdzone przez uprawnionego geodetę w dzienniku budowy.
- Wykopy fundamentowe realizowane w gruntach spoistych bezwzględnie należy zabezpieczyć przed rozmakaniem, uplastycznianiem i przemarzaniem gruntu poprzez zastosowanie chudego betonu podkładowego, układanego sukcesywnie na dnie wykopu, na całej jego powierzchni (od krawędzi wykopu do krawędzi).
- Nie można dopuścić do gromadzenia się wód opadowych w wykopie fundamentowym, zapewnić należy właściwy reżim wykonawczy (wykonanie wykopu, chudy beton, zbrojenie, zalanie fundamentów).
- Pozostawić warstwę ochronną o grubości około 20 cm, którą należy wybrać ręcznie bezpośrednio przed wykonaniem fundamentów lub koparką zaopatrzoną w gładki lemiesz.

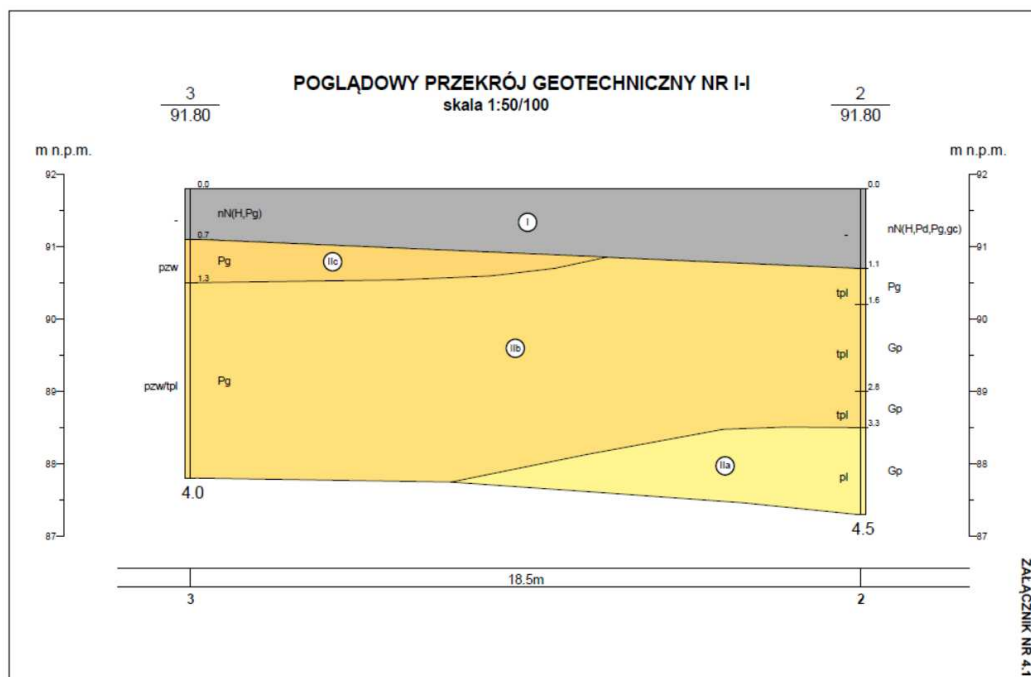
- Wykop wokół fundamentu wypełnić nieprzepuszczalnym gruntem rodzimym, starannie go ubijając, żeby nie zostawić przestrzeni, w których mogłaby się zbierać woda.
- Ze względu na okresowe zaleganie wód opadowych na warstwie gruntów słaboprzepuszczalnych (gliny zwałowe) w obrębie przypowierzchniowo zalegających utworów nasypowych, fundamenty obiektu okresowo mogą znajdować się pod wodą. Z tych względów konieczne jest właściwe rozwiązanie izolacji przeciwwilgociowej murów obiektu poniżej poziomu terenu.
- Fundamenty, nasyp pod posadzkę oraz wykop zasypywać piaskami średnimi, zagęszczonymi do $Is=0,98$.
- Roboty ziemne i fundamentowe należy prowadzić zgodnie ze sztuką budowlaną, obowiązującymi normami, zasadami BHP.
- Wykopy wykonywać w porze suchej i nie pozostawiać ich w stanie otwartym szczególnie na okres zimowy.
- Stosując rozwiązania systemowe np. kotwy chemiczne należy bezwzględnie stosować wszystkie wytyczne i zalecenia producenta.

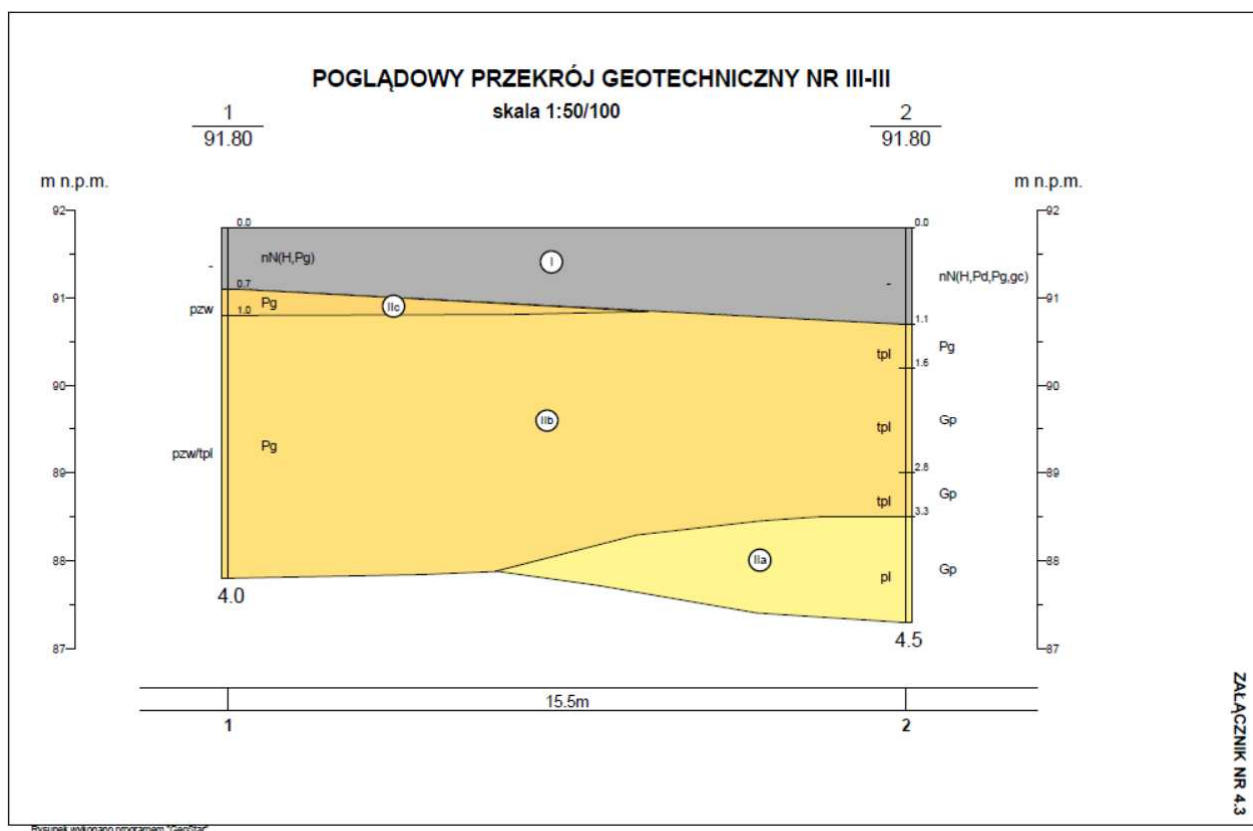
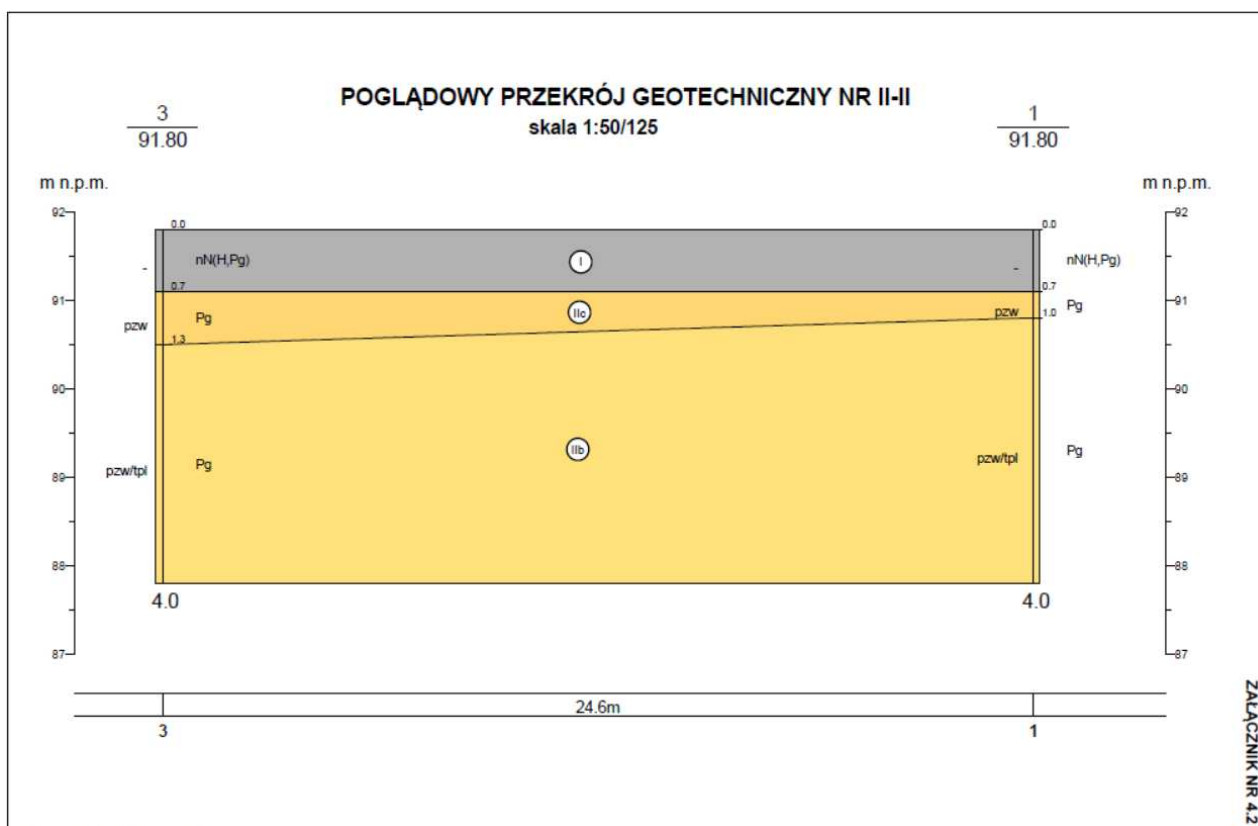
2.1. PROJEKT GEOTECHNICZNY

2.2. WARUNKI GRUNTOWO – WODNE

Na podstawie Opinii geotechnicznej autorstwa „GEOsolutions” Tomasz Michałek” stwierdzono występowanie następujących warstw gruntu w miejscu planowanej inwestycji:

- Warstwa I – nasyp niekontrolowany, w którego składzie zaobserwowano humus, piaski gliniaste, piaski drobne oraz gruz ceglany – **grunt słabonośny, podlegający całkowitej wymianie**.
- Warstwa II – gliny zwałowe, o zróżnicowanej wartości stopnia plastyczności, w obrębie warstwy II wyodrębniono trzy podwarstwy:
 - **podwarstwę IIa** – obejmują gliny piaszczyste. Grunty podwarstwy IIa charakteryzują się konsystencją plastyczną i występują w stanie plastycznym o średniej wartości stopnia plastyczności $IL=0,28$ ($gm=1\pm 0,10$),
 - **podwarstwę IIb** – obejmują piaski gliniaste oraz gliny piaszczyste. Grunty podwarstwy IIb charakteryzują się konsystencją plastyczną i występują w stanie twardoplastycznym (lokalnie półzwałowym) o średniej wartości stopnia plastyczności $IL=0,11$ ($gm=1\pm 0,25$),
 - **podwarstwę IIc** – obejmują piaski gliniaste. Grunty podwarstwy IIc charakteryzują się konsystencją zwartą i występują w stanie półzwałowym o średniej wartości stopnia plastyczności $IL=0,04$ ($gm=1\pm 0,25$),.





Rysunek wykonano programem "GeoStar"

Inwestor: Poradnia Psychologiczno-Pedagogiczna w Chełmży, ul. Św. Jana 18, 87-140 Chełmża
 Temat: Budowa budynku poradni psychologiczno-pedagogicznej w Dobrzejewicach
 nr działki: 194/7, obręb: 0002 Dobrzejewice, jed. ewid.: 041507_2 Obrowo, powiat: toruński, województwo: kujawsko-pomorskie

GEOsolutions Tomasz Michalek ul. Ku Wiatrakom 7/89, 85-856 Bydgoszcz NIP: 953-223-49-67 REGON: 361423991 tel. 696 995 812 e-mail: biuro@geosolutions.org.pl				KARTA OTWORU WIERTNICZEGO NR 2				Zał.Nr: 5.2 Wiertnica: H16G						
Rejon: działka nr 194/7 Miejscowość: Dobrzejewice Gmina: Obrowo Powiat: toruński				Obiekt: Budowa Poradni Psychologiczno-Pedagogicznej Inwestor: Starostwo Powiatowe w Toruniu Zleconiodawca: PRACOWNIA PROJEKTOWA PRO-KOR Wiercenie: GEOsolutions Tomasz Michalek				System wiercenia: mechaniczno-obrotowy Rzędna: 91.80 m n.p.m. Głębokość: 4.50 m Skala 1 : 25 Data wiercenia: 2019-11-22						
Wiercenie	Głębokość zwierciadła wody [m p.p.t]	Stratygrafia	Skala [m]	Profil	Przebieg [m]	Opis Litologiczny	Symbol gruntu wg ISO	Głębokość pobrania próbki	Rodzaj próbki	Wilgotność	Ilość walczowań	Stan gruntu	Nr warstwy	
1	2	3	4	5	6	7	8	9	10	11	12	13	14	
		Czwartorzęd Czwartorzęd		nN(H, Pd, Pg, gc)		nasyp niekontrolowany, ciemnobrunatny zbudowany z humusu, piasku drobnego, piasku gliniastego oraz gruzu ceglanego	Mg			w/mw		-	I	
					Pg	1.10	plasek gliniasty, brązowy	clSa	1.30	B	mw	0/1		
					Gp	1.60	glina płaszczysta, brązowa	sacISl	2.20	B		1/1	tpl	IIb
					Gp	2.80	glina płaszczysta, brązowa	sacISl	3.00	B	w	1/2		
					Gp	3.30	glina płaszczysta, brązowa	sacISl	4.00	B		2/3	pl	IIa
					4.50									

Rysunek wykonano programem "GeoStar" zgodnie z Domyslna (zgodna z tematem)

Kartę opracował: mgr inż. Tomasz Michalek

2.3. OPINIA GEOTECHNICZNA

Kategorię geotechniczną ustalono na podstawie Rozporządzenia Ministra Transportu, Budownictwa i Gospodarki Morskiej z dnia 25 kwietnia 2012r. w sprawie ustalania geotechnicznych warunków posadawiania obiektów budowlanych. (Dz. U. z dnia 27 kwietnia 2012r., poz. 463). Na podstawie otrzymanych wyników rozpoznania geotechnicznego oraz uwzględniając charakterystykę konstrukcji ustala się I kategorię geotechniczną (w prostych warunkach wodno-gruntowych).

3.1. ELEMENTY KONSTRUKCYJNE

FUNDAMENTY

Obiekt zaprojektowano jako posadowiony w sposób bezpośredni na ławach i stopach fundamentowych. Elementy posadowienia wykonać z betonu C20/25, zbrojone stalą A-IIIN (Rb500W). Z fundamentów wyprowadzić startery dla słupów i rdzeni żelbetowych stosując zbrojenie klasy odpowiadającej zbrojeniu elementowi. Zgodnie z zaleceniami Opinii Geotechnicznej wszystkie ławy i stopy fundamentowe posadzić na warstwie chudego betonu gr. min 15cm. Uszczegółowienie izolacji pionowych i poziomych wg projektu architektury.

ŚCIANY FUNDAMENTOWE

Ściany fundamentowe projektuje się jako murowane z bloczków betonowych klasy C16/20 na zaprawie cementowo-wapiennej marki M10 ($f_m=10\text{MPa}$) zgodnie z częścią rysunkową. Ściany fundamentowe usztywnione układem rdzeni. Izolacje ścian zgodnie z projektem architektury.

ŚCIANY KONSTRUKCYJNE MUROWANE

W poziomie parteru ściany zewnętrzne i wewnętrzne budynku zaprojektowano z bloczków z ceramiki poryzowanej kl. 15MPa na zaprawie cementowo-wapiennej klasy min M10. Ściany attyk zaprojektowano jako murowane z bloczków wapienno-piaskowych, kl. min. 15MPa na zaprawie do cienkich spoin. Ściany murowane usztywnione układem wieńców i rdzeni żelbetowych zgodnie z częścią graficzną opracowania. Dla zaprojektowanych ścian przyjęto kategorię A wykonania robót (jakość robót kontrolowana przez wykwalifikowaną osobę niezależną od wykonawcy – inspektor nadzoru). W przedostatniej warstwie zaprawy klejowej pod parapetem otworu okiennego na styku z filarkiem międzyokiennym/ścianą należy układać 2 pręty $\Phi 6\text{mm}$ zabezpieczające przed ścięciem muru.

BELKI, NADPROŻA I WIEŃCE ŻELBETOWE

Belki, nadproża i wieńce żelbetowe należy wykonać jako monolityczne z betonu klasy C20/25 (B25) wylewane na mokro oraz zazbroić stalą zbrojeniową A-IIIN (Rb500W). Wszystkie ściany należy zakończyć wieńcem, dodatkowo należy pamiętać o wieńcach pośrednich w osiach „A” i „B” (przekrój oraz zbrojenie zgodnie z częścią graficzną projektu wykonawczego). Otulina zbrojenia belek, nadproży oraz wieńców $c=3,0\text{cm}$ do lica prętów głównych.

Wszystkie elementy żelbetowe wykonać w typowych zinwentaryzowanych deskowaniach drobnowymiarowych o gładkiej powierzchni. Szczególną uwagę należy zwrócić na staranne zagęszczenie mieszanki betonowej oraz stosowanie środków zapobiegających przyleganiu betonu do form.

Rozformowanie belek żelbetowych i usunięcie podpór montażowych można dokonać po uzyskaniu przez beton minimum 75% projektowanej wytrzymałości.

SŁUPY I RDZENIE ŻELBETOWE

Słupy oraz rdzenie stanowiące usztywnienie ścian murowanych wykonać jako monolityczne z betonu klasy C20/25 (B25). Zbrojenie główne i strzemionami ze stali A-IIIN (Rb500W). Przekroje rdzeni zgodnie z częścią graficzną projektu wykonawczego.

Zbrojenie pionowe słupów i rdzeni należy wystawić poza przerwę roboczą tak, aby zapewnić zakotwienie równe min. 40Ø pręta zbrojeniowego. Rdzenie usztywniające należy wykonywać po uprzednim wymurowaniu ścian, tak aby posiadały strzępia zespalające element monolityczny z murem.

Słupy i rdzenie żelbetowe połączone są bezpośrednio z ławami fundamentowymi poprzez wystawione z nich pręty startowe oraz połączone są z wieńcami żelbetowymi, nadprożami lub innymi elementami konstrukcyjnymi obiektu.

Betonowanie słupów i rdzeni należy prowadzić w taki sposób by nie dopuścić do rozsegregowania składników mieszanki betonowej w trakcie jej układania. Należy w tym celu wykorzystać np. rękaw elastyczny tak aby zrzut betonu nie następował z wysokości wyższej niż 1,0 m.

W trakcie wiązania i dojrzewania mieszanki betonowej należy zapewnić odpowiednią i dostosowaną do warunków atmosferycznych pielęgnację świeżego betonu. Rozformowanie elementów żelbetowych można dokonać po uzyskaniu przez beton minimum 75% projektowanej wytrzymałości.

STROPODACH ŻELBETOWY

Strop nad parterem projektuje się wykonać jako żelbetowy monolityczny krzyżowo zbrojony o grubości 20 (15) cm, z betonu C20/25 (B25), zbrojonego stalą A-IIIN (BSt500). Otulina prętów zbrojeniowych stropu wynosi $c=2,0\text{cm}$ do lica prętów zbrojenia kierunku uprzywilejowanego. Należy zwrócić szczególną uwagę na zachowanie otuliny, kierunku zbrojenia uprzywilejowanego, zakotwienie prętów zbrojeniowych, odpowiednie zakłady i rozmieszczenie prętów, dozbrojenia otworów, miejsc podporowych czy naroży, zgodnie z częścią graficzną projektu.

Dla części stropu oznaczonej w części graficznej należy wykonać podniesienie wykonawcze – przeciwstrzałkę ugięcia równą 1cm. Rozformowanie stropu może nastąpić po uzyskaniu przez beton 75% wytrzymałości projektowanej.

Zbrojenie stropów przed zabetonowaniem bezwarunkowo musi być odebrane przez uprawnioną osobę i poprzedzone wpisem do dziennika budowy. Otworowanie w stropach rozpatrywać łącznie z projektami branżowymi. Podczas eksploatacji budynku bezwarunkowo należy kontrolować grubość pokrywy śnieżnej zalegającej na tarasie.

STALOWE ZADASZENIE WEJŚCIA

Nad wejściem do budynku w osi „1” projektuje się zadaszenie wykonane ze wsporników stalowych IPE140. Wsporniki stężone poprzecznie poprzez kantówki drewniane. Wsporniki utwierdzone w belce żelbetowej poprzez kotwy chemiczne HILTI, dobór kotew zgodnie z częścią graficzną opracowania. Należy bezwzględnie stosować się do wytycznych producenta oraz wytycznych dotyczących odległości kotwy od krawędzi elementu żelbetowego. Zezwala się na zastosowanie kotew równoważnych, o nie nośności nie mniejszej niż dobrane przez Projektanta niniejszego opracowania, pod warunkiem dostarczenia przez dostawcę niezbędnych obliczeń potwierdzających nośność kotew.

Wsporniki stalowe należy wykonać ze stali S235 i zabezpieczyć antykorozyjnie dla klasy agresywności środowiska C3 i na trwałość 15 lat (klasa D) poprzez malowanie farbami epoksydowymi, warstwami o grubości spełniającej podane trwałości.

STALOWE PODKONSTRUKCJE OKIEN

W osi „A” projektuje się przestrzenne podkonstrukcje stalowe okien wykonane z rur kwadratowych 100x10x5. Podkonstrukcje stężone poprzez płyty OSB, gr. min. 22mm (grubość płyt zgodnie z częścią graficzną projektu). Elementy wspornikowe utwierdzone w rdzeniach i nadprożach żelbetowych poprzez kotwy chemiczne HILTI, dobór kotew zgodnie z częścią graficzną opracowania. Należy bezwzględnie stosować się do wytycznych producenta oraz wytycznych dotyczących odległości kotwy od krawędzi elementu żelbetowego. Zezwala się na zastosowanie kotew równoważnych, o nie nośności nie mniejszej niż dobrane przez Projektanta niniejszego opracowania, pod warunkiem dostarczenia przez dostawcę niezbędnych obliczeń potwierdzających nośność kotew.

Podkonstrukcje okien należy wykonać ze stali S235 i zabezpieczyć antykorozyjnie dla klasy agresywności środowiska C3 i na trwałość 15 lat (klasa D) poprzez malowanie farbami epoksydowymi, warstwami o grubości spełniającej podane trwałości.

JAKOŚĆ MATERIAŁÓW DO WYKONANIA ROBÓT ŻELBETOWYCH

Wszystkie materiały używane podczas robót muszą być najwyższej jakości, atestowane i dopuszczone do stosowania jako materiały budowlane w Polsce.

DESKOWANIE

Musi być dobrej jakości, nie usuwać deskowania i podpór montażowych przed stwardnieniem betonu wystarczającym do przeniesienia przez el. obciążenia własnego i użytkowego.

TOLERANCJE

Dokładność wymiarowa konstrukcji powinna być zgodna z PN-62/B-02355 i PN-62/B-02356.

ZBROJENIE

Zbrojenie przed ułożeniem oczyścić starannie z rdzy, oblodzenia i innych zanieczyszczeń utrudniających przyczepność betonu. Zbrojenie ma być ułożone dokładnie, mocowane elementami o dystansowniki.

BETON

W projekcie przewidziano beton klasy B25 (C20/25). Mieszanka betonowa powinna mieć właściwą konsystencję bez dodawania nadmiernej ilości wody. Układać beton w formach w sposób zapobiegający rozwarstwieniu. Wibrować w celu usunięcia pęcherzy powietrza niezwłocznie po ułożeniu. Wokół zbrojenia, w rogach i zwężeniach sprawdzić czy beton przylega dokładnie.

Kontrolować prędkość układania tak, aby mieszanka była zagęszczana w warstwach max 30cm. Przed wznowieniem betonowania powierzchnia „starego” betonu powinna być nacięta lub nadkuta w celu usunięcia szkliwa i odsłonięciu kruszywa oraz nasiąknięta i smarowana mleczkiem cementowym.

Należy prowadzić wszystkie niezbędne kontrole i testy próbek betonu na ściskanie. Przy betonowaniu w temp. poniżej 5°C materiały mają być podgrzewane. Chronić beton przed zamarzaniem do czasu wystarczającego związania przy pomocy obudów, mat itp. „wylane” betony należy prawidłowo pielęgnować.

UWAGI

- Po każdych silnych porywach wiatru – prędkość wiatru powyżej 72km/h – bezwarunkowo należy kontrolować pokrycie dachów, stan opierzenia, attyk itp. Przy zauważeniu jakichkolwiek oznak destrukcyjnego działania wiatru, tj. zniszczenia opierzenia, poderwania powłok poszycia dachu bezzwłocznie należy przystąpić do zabezpieczenia dachu i jego naprawy.

III. OBLICZENIA STATYCZNE – WYTRZYMAŁOŚCIOWE.

a. ZESTAWIENIE OBCIĄŻEŃ

0.1. Strop

Rodzaj: ciężar

Typ: stałe

0.1.1. Strop z warstwami i ciężarem instalacji

$Q_k = 6,45 \text{ kN/m}^2$.

$Q_{o1} = 7,24 \text{ kN/m}^2$,

$Q_{o2} = 5,81 \text{ kN/m}^2$,

$\gamma_{f1} = 1,12$,

$\gamma_{f2} = 0,90$.

W tym:

Papa podwójnie:

$Q_k = 0,15 \text{ kN/m}^2$

$\gamma_{f1} = 1,2$

$Q_{o1} = 0,18 \text{ kN/m}^2$,

Wełna, $h_{\max}=50\text{cm}$:

$Q_k = 0,60 \text{ kN/m}^2$

$\gamma_{f1} = 1,2$

$Q_{o1} = 0,72 \text{ kN/m}^2$,

Papa na stropie:

$Q_k = 0,05 \text{ kN/m}^2$

$\gamma_{f1} = 1,2$

$Q_{o1} = 0,06 \text{ kN/m}^2$,

Strop żelbetowy, gr. 20(15)cm:

$Q_k = 5,0(3,75) \text{ kN/m}^2$

$\gamma_{f1} = 1,1$

$Q_{o1} = 5,50(4,5) \text{ kN/m}^2$,

Sufit podwieszany:

$Q_k = 0,30 \text{ kN/m}^2$

$\gamma_{f1} = 1,2$

$Q_{o1} = 0,36 \text{ kN/m}^2$,

Podwieszone instalacje:

$Q_k = 0,35 \text{ kN/m}^2$

$\gamma_{f1} = 1,2$

$Q_{o1} = 0,42 \text{ kN/m}^2$,

0.2. Użytkowe

Rodzaj: użytkowe

Typ: zmienne

0.2.1. Człowiek z narzędziami

$Q_k = 1,00 \text{ kN/m}^2$.

$Q_o = 1,40 \text{ kN/m}^2$,

$\gamma_f = 1,40$,

$\psi_d = 1,00$.

0.3. Śnieg na stropodachu

Rodzaj: śnieg

Typ: zmienne

0.3.1. Śnieg

$Q_k = 0,9 \text{ kN/m}^2 \cdot 0,8 = 0,72 \text{ kN/m}^2$.

$Q_o = 1,01 \text{ kN/m}^2$,

$\gamma_f = 1,50$.

0.4. Ściana przyziemia - ciężar

Rodzaj: ciężar

Typ: stałe

0.4.1. Wykończenie

$Q_k = 0,76 \text{ kN/m}^2$.

$Q_{o1} = 0,90 \text{ kN/m}^2$,

$Q_{o2} = 0,68 \text{ kN/m}^2$,

$\gamma_{f1} = 1,19$,

$\gamma_{f2} = 0,90$.

0.4.2. Porotherm 25cm

$Q_k = 2,75 \text{ kN/m}^2$.

$Q_{o1} = 3,30 \text{ kN/m}^2$,

$Q_{o2} = 2,48 \text{ kN/m}^2$,

$\gamma_{f1} = 1,20$,

$\gamma_{f2} = 0,90$.

0.5. Warstwy zadaszenie IPE

Rodzaj: ciężar

Typ: stałe

0.5.1. Ciężar

$Q_k = 1,49 \text{ kN/m}^2$.

$Q_{o1} = 1,79 \text{ kN/m}^2$,

$Q_{o2} = 1,34 \text{ kN/m}^2$,

$\gamma_{f1} = 1,20$,

$\gamma_{f2} = 0,90$.

0.6. Śnieg IPE

Rodzaj: śnieg

Typ: zmienne

0.6.1. Śnieg1

$Q_k = 1,2 \cdot 0,9 \text{ kN/m}^2 \cdot 2,50 = 2,70 \text{ kN/m}^2$.

$Q_o = 3,78 \text{ kN/m}^2$,

$\gamma_f = 1,50$.

0.6.2. Śnieg2

$Q_k = 1,2 \cdot 0,9 \text{ kN/m}^2 \cdot 1,99 = 2,15 \text{ kN/m}^2$.

$Q_o = 3,01 \text{ kN/m}^2$,

$\gamma_f = 1,50$.

0.7. Wiatr zadaszenie

Rodzaj: wiatr
 Typ: zmienne

0.7.1. Wiatr1

$$Q_k = 0,3 \text{ kN/m}^2 \cdot 1,00 \cdot (-1,08) \cdot 1,8 = -0,58 \text{ kN/m}^2$$

$$Q_o = -0,75 \text{ kN/m}^2, \quad \gamma_f = 1,50.$$

0.7.2. Wiatr2

$$Q_k = 0,3 \text{ kN/m}^2 \cdot 1,00 \cdot 2,00 \cdot 1,8 = 1,08 \text{ kN/m}^2$$

$$Q_o = 1,40 \text{ kN/m}^2, \quad \gamma_f = 1,50.$$

0.7.3. Wiatr3

$$Q_k = 0,3 \text{ kN/m}^2 \cdot 1,00 \cdot 1,00 \cdot 1,8 = 0,54 \text{ kN/m}^2$$

$$Q_o = 0,70 \text{ kN/m}^2, \quad \gamma_f = 1,50.$$

0.7.4. Wiatr4

$$Q_k = 0,3 \text{ kN/m}^2 \cdot 1,00 \cdot 1,00 \cdot 1,8 = 0,54 \text{ kN/m}^2$$

$$Q_o = 0,70 \text{ kN/m}^2, \quad \gamma_f = 1,50.$$

0.8. Wiatr – parcie na okno podkonstrukcji RK100

Rodzaj: wiatr
 Typ: zmienne

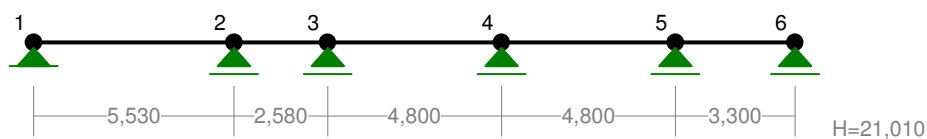
0.8.1. Wiatr

$$Q_k = 0,3 \text{ kN/m}^2 \cdot 1,00 \cdot 1,72 \cdot 1,8 = 0,93 \text{ kN/m}^2$$

$$Q_o = 1,21 \text{ kN/m}^2, \quad \gamma_f = 1,50.$$

b. Belka żelbetowa B-1

WĘZŁY:



WĘZŁY:

Nr:	X [m]:	Y [m]:	Nr:	X [m]:	Y [m]:
1	0,000	0,000	4	12,910	0,000
2	5,530	0,000	5	17,710	0,000
3	8,110	0,000	6	21,010	0,000

PODPORY:

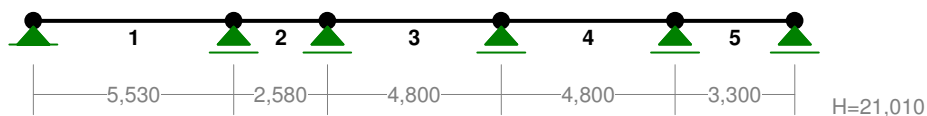
P o d a t n o ś c i

Węzeł:	Rodzaj:	Kąt:	Dx (Do*) [m / k N]	Dy:	DFi: [rad/kNm]
1	stała	0,0	0,000E+00	0,000E+00	
2	przesuwna	0,0	0,000E+00*		
3	przesuwna	0,0	0,000E+00*		
4	przesuwna	0,0	0,000E+00*		
5	przesuwna	0,0	0,000E+00*		
6	przesuwna	0,0	0,000E+00*		

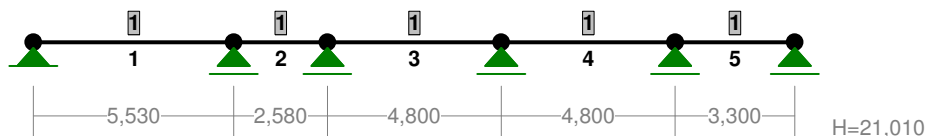
OSIADANIA:

Węzeł:	Kąt:	Wx (Wo*) [m]:	Wy [m]:	Fio [grad]:
B r a k O s i a d a ń				

PRĘTY:



PRZEKROJE PRĘTÓW:



PRĘTY UKŁADU:

Typy prętów: 00 - sztyw.-sztyw.; 01 - sztyw.-przegub;
 10 - przegub-sztyw.; 11 - przegub-przegub
 22 - ciągnio

Pręt:	Typ:	A:	B:	Lx[m]:	Ly[m]:	L[m]:	Red.EJ:	Przekrój:
1	00	1	2	5,530	0,000	5,530	1,000	1 B 50,0x25,0
2	00	2	3	2,580	0,000	2,580	1,000	1 B 50,0x25,0
3	00	3	4	4,800	0,000	4,800	1,000	1 B 50,0x25,0
4	00	4	5	4,800	0,000	4,800	1,000	1 B 50,0x25,0
5	00	5	6	3,300	0,000	3,300	1,000	1 B 50,0x25,0

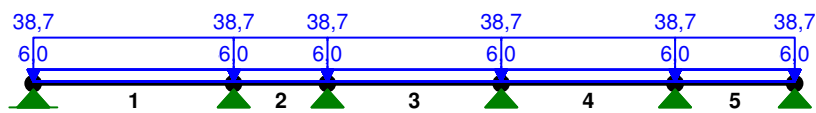
WIELKOŚCI PRZEKROJOWE:

Nr.	A[cm ²]	Ix[cm ⁴]	Iy[cm ⁴]	Wg[cm ³]	Wd[cm ³]	h[cm]	Materiał:
1	1250,0	260417	65104	10417	10417	50,0	35 Beton B25

STAŁE MATERIAŁOWE:

Materiał:	Moduł E: [N/mm ²]	Napręż.gr.: [N/mm ²]	AlfaT: [1/K]
35 Beton B25	30000	13,300	1,00E-05

OBCIĄŻENIA:



OBCIĄŻENIA: ([kN], [kNm], [kN/m])

Pręt:	Rodzaj:	Kąt:	P1(Tg):	P2(Td):	a[m]:	b[m]:
Grupa:	A "warstwy"			Stałe	$\gamma_f = 1,10$	
1	Liniowe	0,0	38,70	38,70	0,00	5,53

2	1.1. Liniowe	Strop z warstwami i ciężarem instalacji p=6,45×6,000	0,0	38,70	38,70	0,00	2,58
3	1.1. Liniowe	Strop z warstwami i ciężarem instalacji p=6,45×6,000	0,0	38,70	38,70	0,00	4,80
4	1.1. Liniowe	Strop z warstwami i ciężarem instalacji p=6,45×6,000	0,0	38,70	38,70	0,00	4,80
5	1.1. Liniowe	Strop z warstwami i ciężarem instalacji p=6,45×6,000	0,0	38,70	38,70	0,00	3,30
1.1. Strop z warstwami i ciężarem instalacji p=6,45×6,000							
Grupa: B "śnieg wszędzie"			Zmienne		γf= 1,50		
1	Liniowe		0,0	4,32	4,32	0,00	5,53
2	Liniowe		0,0	4,32	4,32	0,00	2,58
3	Liniowe		0,0	4,32	4,32	0,00	4,80
4	Liniowe		0,0	4,32	4,32	0,00	4,80
5	Liniowe		0,0	4,32	4,32	0,00	3,30
Grupa: C "śnieg1"							
Grupa: C "śnieg1"			Zmienne		γf= 1,50		
1	Liniowe		0,0	4,32	4,32	0,00	5,53
3	Liniowe		0,0	4,32	4,32	0,00	4,80
5	Liniowe		0,0	4,32	4,32	0,00	3,30
Grupa: D "śnieg2"							
Grupa: D "śnieg2"			Zmienne		γf= 1,50		
2	Liniowe		0,0	4,32	4,32	0,00	2,58
4	Liniowe		0,0	4,32	4,32	0,00	4,80
Grupa: E "śnieg3"							
Grupa: E "śnieg3"			Zmienne		γf= 1,50		
1	Liniowe		0,0	4,32	4,32	0,00	5,53
5	Liniowe		0,0	4,32	4,32	0,00	3,30
Grupa: F "uzytkowe wszędzie"							
Grupa: F "uzytkowe wszędzie"			Zmienne		γf= 1,40		
1	Liniowe		0,0	6,00	6,00	0,00	5,53
2	Liniowe		0,0	6,00	6,00	0,00	2,58
3	Liniowe		0,0	6,00	6,00	0,00	4,80
4	Liniowe		0,0	6,00	6,00	0,00	4,80
5	Liniowe		0,0	6,00	6,00	0,00	3,30
Grupa: G "uzytkowe1"							
Grupa: G "uzytkowe1"			Zmienne		γf= 1,40		
1	Liniowe		0,0	6,00	6,00	0,00	5,53
3	Liniowe		0,0	6,00	6,00	0,00	4,80
5	Liniowe		0,0	6,00	6,00	0,00	3,30
Grupa: H "uzytkowe2"							
Grupa: H "uzytkowe2"			Zmienne		γf= 1,40		
2	Liniowe		0,0	6,00	6,00	0,00	2,58
4	Liniowe		0,0	6,00	6,00	0,00	4,80
Grupa: I "uzytkowe3"							
Grupa: I "uzytkowe3"			Zmienne		γf= 1,40		
1	Liniowe		0,0	6,00	6,00	0,00	5,53
5	Liniowe		0,0	6,00	6,00	0,00	3,30

W Y N I K I
Teoria II-go rzędu
Kombinatoryka obciążeń

OBCIĄŻENIOWE WSPÓŁ. BEZPIECZ.:

Grupa:	Znaczenie:	ψd:	γf:
Ciężar wł.			1,10
A - "warstwy"	Stałe		1,10
B - "śnieg wszędzie"	Zmienne	1 1,00	1,50
C - "śnieg1"	Zmienne	1 1,00	1,50
D - "śnieg2"	Zmienne	1 1,00	1,50
E - "śnieg3"	Zmienne	1 1,00	1,50
F - "uzytkowe wszędzie"	Zmienne	1 1,00	1,40
G - "uzytkowe1"	Zmienne	1 1,00	1,40
H - "uzytkowe2"	Zmienne	1 1,00	1,40
I - "uzytkowe3"	Zmienne	1 1,00	1,40

RELACJE GRUP OBCIĄŻEŃ:

Grupa obc.:	Relacje:
Ciężar wł.	ZAWSZE
A - "warstwy"	EWENTUALNIE
B - "śnieg wszędzie"	EWENTUALNIE
C - "śnieg1"	Nie występuje z: CDE EWENTUALNIE
D - "śnieg2"	Nie występuje z: BDE EWENTUALNIE

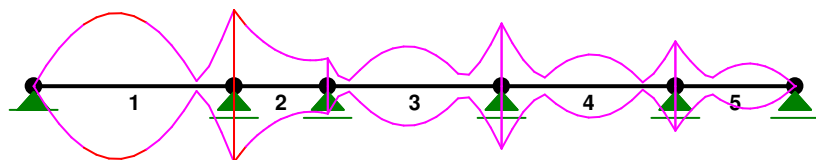
Nr:	Specyfikacja:
1	ZAWSZE : A EWENTUALNIE:
2	ZAWSZE : A EWENTUALNIE: B+F
3	ZAWSZE : A EWENTUALNIE: C+G
4	ZAWSZE : A EWENTUALNIE: D+H
5	ZAWSZE : A EWENTUALNIE: E+I

Pręt: x[m]:	M[kNm]:	Q[kN]:	N[kN]:	Kombinacja obciążeń:	
1	2,419	158,2*	-8,1	-0,0	ACG
	5,530	-165,1*	-197,8	0,3	ABF
	5,530	-165,1	-197,8*	0,3	ABF

	0,000	-0,0	138,9	0,5*	ACG
	2,419	158,2	-8,1	-0,0*	ACG
2	1,774	-25,8*	4,2	0,0	ADH
	0,000	-165,1*	119,8	-0,2	ABF
	0,000	-165,1	119,8*	-0,2	ABF
	1,613	-49,2	34,6	0,0*	AEI
	0,000	-165,1	119,8	-0,2*	ABF
3	2,100	86,2*	5,9	0,0	ACG
	4,800	-136,1*	-162,0	0,0	ABF
	4,800	-136,1	-162,0*	0,0	ABF
	0,000	-60,2	133,5	0,2*	ACG
	4,800	-119,6	-126,2	-0,0*	ADH
4	2,400	68,3*	5,4	0,0	ADH
	0,000	-136,1*	153,9	-0,0	ABF
	0,000	-136,1	153,9*	-0,0	ABF
	4,200	-20,4	-104,0	0,1*	ADH
	0,000	-119,3	119,0	-0,1*	ACG
5	2,063	48,8*	-1,8	0,0	ACG
	0,000	-97,0*	129,6	-0,0	ABF
	0,000	-97,0	129,6*	-0,0	ABF
	3,300	-0,0	-77,0	0,0*	ACG
	0,000	-93,7	104,1	-0,0*	ADH

* = Max/Min

NAPRĘŻENIA-OBWIEDNIE:



NAPRĘŻENIA - WARTOŚCI EKSTREMALNE: T.II rzędu bez imperf.

Obciążenia obl. dłg.: Ciężar wł.+"Kombinacja obciążeń"

Pręt: x[m]: SigmaG: SigmaD: Sigma: Kombinacja obciążeń:
[MPa]

Ro

1	5,530	1,192*		15,9	ABF
	2,419	-1,142*		-15,2	ACG
	2,419		1,142*	15,2	ACG
	5,530		-1,192*	-15,9	ABF
2	0,000	1,192*		15,9	ABF
	1,774	0,187*		2,5	ADH
	1,774		-0,187*	-2,5	ADH
	0,000		-1,192*	-15,9	ABF
3	4,800	0,983*		13,1	ABF
	2,100	-0,622*		-8,3	ACG
	2,100		0,622*	8,3	ACG
	4,800		-0,982*	-13,1	ABF
4	0,000	0,982*		13,1	ABF
	2,400	-0,493*		-6,6	ADH
	2,400		0,493*	6,6	ADH
	0,000		-0,983*	-13,1	ABF
5	0,000	0,700*		9,3	ABF
	2,063	-0,352*		-4,7	ACG
	2,063		0,352*	4,7	ACG
	0,000		-0,700*	-9,3	ABF

* = Max/Min

REAKCJE - WARTOŚCI EKSTREMALNE: T.II rzędu bez imperf.

Obciążenia obl. dłg.: Ciężar wł.+"Kombinacja obciążeń"

Węzeł:	H[kN]:	V[kN]:	R[kN]:	M[kNm]:	Kombinacja obciążeń:
1	0,0*	138,9	138,9		ACG
	0,0*	103,5	103,5		ADH
	0,0*	104,3	104,3		A
	0,0	138,9*	138,9		ACG
	0,0	103,5*	103,5		ADH
	0,0	138,9	138,9*		ACG
2	0,0*	317,6	317,6		ABF
	0,0*	239,8	239,8		A
	0,0	317,6*	317,6		ABF
	0,0	239,8*	239,8		A
	0,0	317,6	317,6*		ABF
3	0,0*	166,6	166,6		ABF
	0,0*	106,3	106,3		AEI
	0,0*	125,8	125,8		A
	0,0	166,6*	166,6		ABF
	0,0	106,3*	106,3		AEI
	0,0	166,6	166,6*		ABF
4	0,0*	315,9	315,9		ABF
	0,0*	238,1	238,1		AEI
	0,0*	238,6	238,6		A
	0,0	315,9*	315,9		ABF
	0,0	238,1*	238,1		AEI
	0,0	315,9	315,9*		ABF
5	0,0*	267,3	267,3		ABF
	0,0*	201,8	201,8		A
	0,0	267,3*	267,3		ABF
	0,0	201,8*	201,8		A
	0,0	267,3	267,3*		ABF
6	0,0*	77,0	77,0		ACG
	0,0*	47,3	47,3		ADH
	0,0*	53,5	53,5		A
	0,0	77,0*	77,0		ACG
	0,0	47,3*	47,3		ADH
	0,0	77,0	77,0*		ACG

* = Max/Min

PRZEMIESZCZENIA – WARTOŚCI EKSTREMALNE: T.II rzędu bez imperf.
Obciążenia obl. dłg.: Ciężar wł.+"Kombinacja obciążeń"

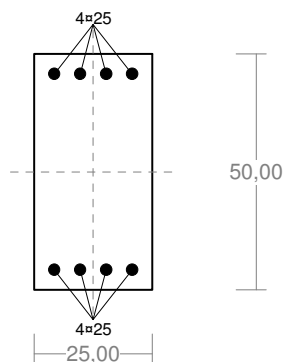
Węzeł:	Ux[m]:	Uy[m]:	Wypadkowe[m]:	Kombinacja obciążeń:
1	0,00000			ACG
		0,00000	0,00000	
2	0,00000			ABF
		0,00000	0,00000	
3	0,00000			ABF
		0,00000	0,00000	
4	0,00000			ABF
		0,00000	0,00000	
5	0,00000			ABF
		0,00000	0,00000	
6	0,00000			ACG
		0,00000	0,00000	

DEFORMACJE – WARTOŚCI EKSTREMALNE: T.II rzędu bez imperf.
Obciążenia obl. dłg.: Ciężar wł.+"Kombinacja obciążeń"

Pręt:	L/f:	Kombinacja obciążeń:
1	991,4	ACG
2	3040,0	ACG
3	2323,7	ACG
4	3324,1	ADH
5	6015,5	ACG

Cechy przekroju:

zadanie belkab1, pręt nr 1, przekrój: $x_a=2,76$ m, $x_b=2,76$ m



Wymiary przekroju [cm]: $h=50,0$, $b=25,0$,

$h=50,0$, $b=25,0$,

Cechy materiałowe dla sytuacji stałej lub przejściowej

BETON: B25

$f_{ck}=20,0$ MPa, $f_{cd}=\alpha \cdot f_{ck}/\gamma_c=1,00 \times 20,0/1,50=13,3$ MPa

Cechy geometryczne przekroju betonowego:

$A_c=1250$ cm², $J_{cx}=260417$ cm⁴, $J_{cy}=65104$ cm⁴

STAL: A-IIIIN (RB 500 W)

$f_{yk}=500$ MPa, $\gamma_s=1,15$, $f_{yd}=420$ MPa

$\xi_{lim}=0,0035/(0,0035+f_{yd}/E_s)=0,0035/(0,0035+420/200000)=0,625$,

Zbrojenie główne:

$A_{s1}+A_{s2}=39,27$ cm², $\rho=100 (A_{s1}+A_{s2})/A_c=100 \times 39,27/1250=3,14$ %,

$J_{sx}=16908$ cm⁴, $J_{sy}=1485$ cm⁴,

Siły przekrojowe:

zadanie: belkab1, pręt nr 1, przekrój: $x_a=5,53$ m, $x_b=0,00$ m

Obciążenia działające w płaszczyźnie układu: **ABCDEFGHI**

Momenty zginające: $M_x=245,5$ kNm,

$M_y=0,0$ kNm,

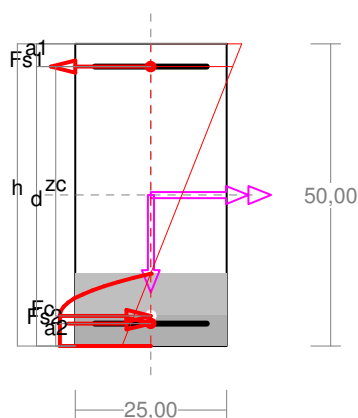
Siły poprzeczne: $V_y=-294,6$ kN,

$V_x=0,0$ kN,

Siła osiowa: $N=0,7$ kN = N_{sd} .

Zbrojenie wymagane:

(zadanie belkab1, pręt nr 1, przekrój: $x_a=5,53$ m, $x_b=0,00$ m)



Wielkości obliczeniowe: $N_{sd}=0,7$ kN,

$N_{sd}=0,7$ kN,

$M_{sd}=\sqrt{(M_{sdx}^2 + M_{sdy}^2)} = \sqrt{(245,5^2 + 0,0^2)} = 245,5$ kNm

$f_{cd}=13,3$ MPa, $f_{yd}=420$ MPa ($f_{td}=478$ MPa - uwzgl. wzmocnienia),

Zbrojenie rozciągane ($\epsilon_{s1}=10,00$ ‰):

$A_{s1}=13,67$ cm² $\Rightarrow (3 \times 25 = 14,73$ cm²),

Zbrojenie ściskane (* $A_{s2}=0$ nie jest obliczeniowo wymagane.*|* ($\epsilon_c=-3,50$ ‰):

$A_{s2}=6,28$ cm² $\Rightarrow (2 \times 25 = 9,82$ cm² *)

$A_s=A_{s1}+A_{s2}=19,95$ cm², $\rho=100 \times A_s/A_c=100 \times 19,95/1250=1,60$ %

Wielkości geometryczne [cm]:

$h=50,0$, $d=46,2$, $x=12,0$ ($\xi=0,259$),

$a_1=3,8$, $a_2=3,8$, $a_c=5,0$, $z_c=41,3$, $A_{cc}=300$ cm²,

$\epsilon_c=-3,50$ ‰, $\epsilon_{s2}=-2,41$ ‰, $\epsilon_{s1}=10,00$ ‰,

Wielkości statyczne [kN, kNm]:

$F_c=-322,8$, $F_{s1}=587,3$, $F_{s2}=-263,9$,

$M_c=64,6$, $M_{s1}=124,8$, $M_{s2}=56,1$,

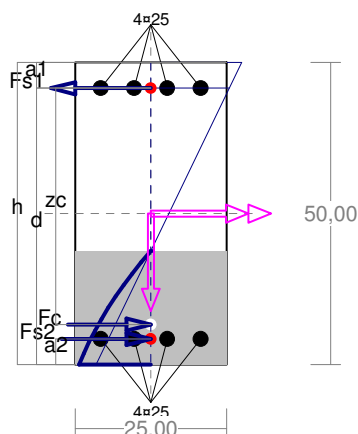
Warunki równowagi wewnętrznej:

$F_c+F_{s1}+F_{s2}=-322,8+(587,3)+(-263,9)=0,7$ kN ($N_{sd}=0,7$ kN)

$M_c+M_{s1}+M_{s2}=64,6+(124,8)+(56,1)=245,5$ kNm ($M_{sd}=245,5$ kNm)

Nośność przekroju prostokątnego:

zadanie belkab1, pręt nr 1, przekrój: $x_a=5,53$ m, $x_b=0,00$ m



Wielkości obliczeniowe: $N_{sd}=0,7$ kN,

$N_{sd}=0,7$ kN,

$M_{sd}=\sqrt{(M_{sdx}^2 + M_{sdy}^2)} = \sqrt{(245,5^2 + 0,0^2)} = 245,5$ kNm

$f_{cd}=13,3$ MPa, $f_{yd}=420$ MPa ($f_{td}=478$ MPa - uwzgl. wzmocnienia),

Zbrojenie rozciągane: $A_{s1}=19,63$ cm²,

Zbrojenie ściskane: $A_{s2}=19,63$ cm²,

$A_s=A_{s1}+A_{s2}=39,27$ cm², $\rho=100 \times A_s/A_c=100 \times 39,27/1250=3,14$ %

Wielkości geometryczne [cm]:

$h=50,0$, $d=45,7$, $x=18,8$ ($\xi=0,412$),

$a_1=4,3$, $a_2=4,3$, $a_c=6,6$, $z_c=39,1$, $A_{cc}=471$ cm²,

$\epsilon_c=-1,08$ ‰, $\epsilon_{s2}=-0,84$ ‰, $\epsilon_{s1}=1,55$ ‰,

Wielkości statyczne [kN, kNm]:

$F_c=-277,8$, $F_{s1}=607,7$, $F_{s2}=-329,2$,

$M_c=51,1$, $M_{s1}=126,1$, $M_{s2}=68,3$,

Warunek stanu granicznego nośności:

$$M_{Rd} = 350,8 \text{ kNm} > M_{Sd} = M_c + M_{s1} + M_{s2} = 51,1 + (126,1) + (68,3) = 245,5 \text{ kNm}$$

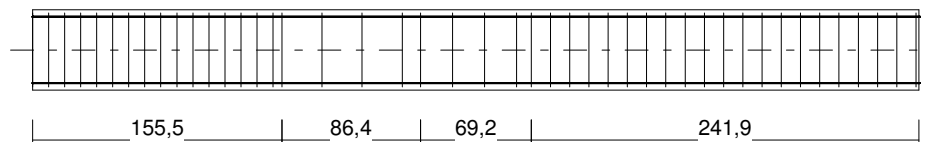
Zbrojenie poprzeczne (strzemiona)

zadanie belkab1, pręt nr 1

Na całej długości pręta przyjęto strzemiona o średnicy $\phi=8$ mm ze stali A-IIIN, dla której $f_{ywd} = 420$ MPa.

Minimalny stopień zbrojenia na ścinanie:

$$\rho_{w,min} = 0,08 \sqrt{f_{ck}} / f_{yk} = 0,08 \times \sqrt{20} / 500 = 0,00072$$



Rozstaw strzemion:

Strefa nr 1

Początek i koniec strefy: $x_a = 0,0$ $x_b = 155,5$ cm

Maksymalny rozstaw strzemion:

$$s_{max} = 0,75 d = 0,75 \times 457 = 343 \quad s_{max} \leq 400 \text{ mm}$$

przyjęto $s_{max} = 343$ mm.

Ze względu na pręty ściskane $s_{max} = 15 \phi = 15 \times 25,0 = 375,0$ mm.

Przyjęto strzemiona 2-cięte, prostopadłe do osi pręta o rozstawie **10,0** cm, dla których stopień zbrojenia na ścinanie wynosi:

$$\rho_w = A_{sw} / (s b_w \sin \alpha) = 1,01 / (10,0 \times 25,0 \times 1,000) = 0,00402$$

$$\rho_w = 0,00402 > 0,00072 = \rho_{w,min}$$

Strefa nr 2

Początek i koniec strefy: $x_a = 155,5$ $x_b = 241,9$ cm

Maksymalny rozstaw strzemion:

$$s_{max} = 0,75 d = 0,75 \times 457 = 343 \quad s_{max} \leq 400 \text{ mm}$$

przyjęto $s_{max} = 343$ mm.

Ze względu na pręty ściskane $s_{max} = 15 \phi = 15 \times 25,0 = 375,0$ mm.

Przyjęto strzemiona 4-cięte, prostopadłe do osi pręta o rozstawie **25,0** cm, dla których stopień zbrojenia na ścinanie wynosi:

$$\rho_w = A_{sw} / (s b_w \sin \alpha) = 2,01 / (25,0 \times 25,0 \times 1,000) = 0,00322$$

$$\rho_w = 0,00322 > 0,00072 = \rho_{w,min}$$

Strefa nr 3

Początek i koniec strefy: $x_a = 241,9$ $x_b = 311,1$ cm

Maksymalny rozstaw strzemion:

$$s_{max} = 0,75 d = 0,75 \times 457 = 343 \quad s_{max} \leq 400 \text{ mm}$$

przyjęto $s_{max} = 343$ mm.

Ze względu na pręty ściskane $s_{max} = 15 \phi = 15 \times 25,0 = 375,0$ mm.

Przyjęto strzemiona 2-cięte, prostopadłe do osi pręta o rozstawie **20,0** cm, dla których stopień zbrojenia na ścinanie wynosi:

$$\rho_w = A_{sw} / (s b_w \sin \alpha) = 1,01 / (20,0 \times 25,0 \times 1,000) = 0,00201$$

$$\rho_w = 0,00201 > 0,00072 = \rho_{w,min}$$

Strefa nr 4

Początek i koniec strefy: $x_a = 311,1$ $x_b = 553,0$ cm

Maksymalny rozstaw strzemion:

$$s_{max} = 0,75 d = 0,75 \times 457 = 343 \quad s_{max} \leq 400 \text{ mm}$$

przyjęto $s_{max} = 343$ mm.

Ze względu na pręty ściskane $s_{max} = 15 \phi = 15 \times 25,0 = 375,0$ mm.

Przyjęto strzemiona 4-cięte, prostopadłe do osi pręta o rozstawie **12,0** cm, dla których stopień zbrojenia na ścinanie wynosi:

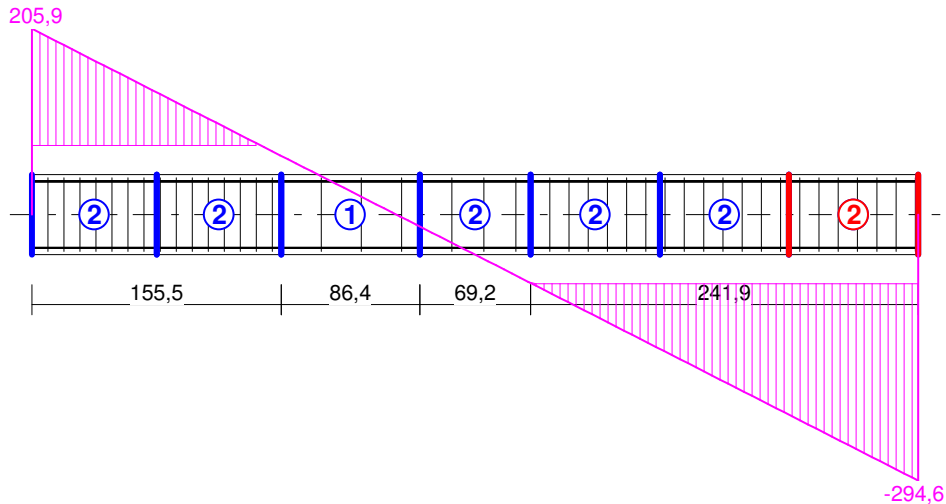
$$\rho_w = A_{sw} / (s b_w \sin \alpha) = 2,01 / (12,0 \times 25,0 \times 1,000) = 0,00670$$

$$\rho_w = 0,00670 > 0,00072 = \rho_{w,min}$$

Ścinanie

zadanie belkab1, pręt nr 1.

Przyjęto podparcie i obciążenie bezpośrednie.



Odcinek nr 7

Początek i koniec odcinka: $x_a = 472,4$ $x_b = 553,0$ cm

Siły przekrojowe: $N_{sd} = 0,7$;

$$V_{sd \max} = -294,6 \text{ kN}$$

Siła poprzeczna w odległości d od podpory wynosi: $V_{sd} = -253,2$ kN

Rodzaj odcinka:

$$\rho L = \frac{A_{sL}}{b_w d} = \frac{19,63}{25,0 \times 45,7} = 0,01717; \quad \rho L \leq 0,01$$

Przyjęto $\rho_L = 0,01000$.

$$\sigma_{cp} = N_{sd} / A_c = -0,7 / 1250,00 \times 10 = -0,0 \text{ MPa} \quad \sigma_{cp} \leq 0,2 f_{cd}$$

Przyjęto $\sigma_{cp} = 0,0$ MPa.

$$V_{Rd1} = [0,35 k f_{ctd} (1,2 + 40 \rho_L) + 0,15 \sigma_{cp}] b_w d = [0,35 \times 1,14 \times 1,00 \times (1,2 + 40 \times 0,01000) + 0,15 \times 0,0] \times 25,0 \times 45,7 \times 10^{-1} = 73,0 \text{ kN}$$

$$V_{sd} = 253,2 > 73,0 = V_{Rd1}$$

Nośność odcinka II-go rodzaju:

Przyjęto kąt $\theta = 45,0^\circ$

$$v = 0,6 (1 - f_{ck} / 250) = 0,6 \times (1 - 20 / 250) = 0,552$$

$$\Delta V_{Rd} = \frac{A_{sw2} f_{ywd2}}{s_2} z \cos \alpha \times 10^{-1} = 0 \text{ kN}$$

$$\Delta V_{Rd} \leq v f_{cd} b_w z \frac{\cot \theta}{1 + \cot^2 \theta} \frac{\cot \alpha}{2 \cot \theta + \cot \alpha} \times 10^{-1} = 0 \text{ kN}$$

Przyjęto $\Delta V_{Rd} = 0,0$ kN.

$$V_{Rd2} = v f_{cd} b_w z \frac{\cot \theta}{1 + \cot^2 \theta} + \Delta V_{Rd} =$$

$$= 0,552 \times 13,3 \times 25,0 \times 41,2 \frac{1,000}{1 + 1,000^2} \times 10^{-1} + 0,0 = 377,9 \text{ kN}$$

$$V_{sd} = 294,6 < 377,9 = V_{Rd2}$$

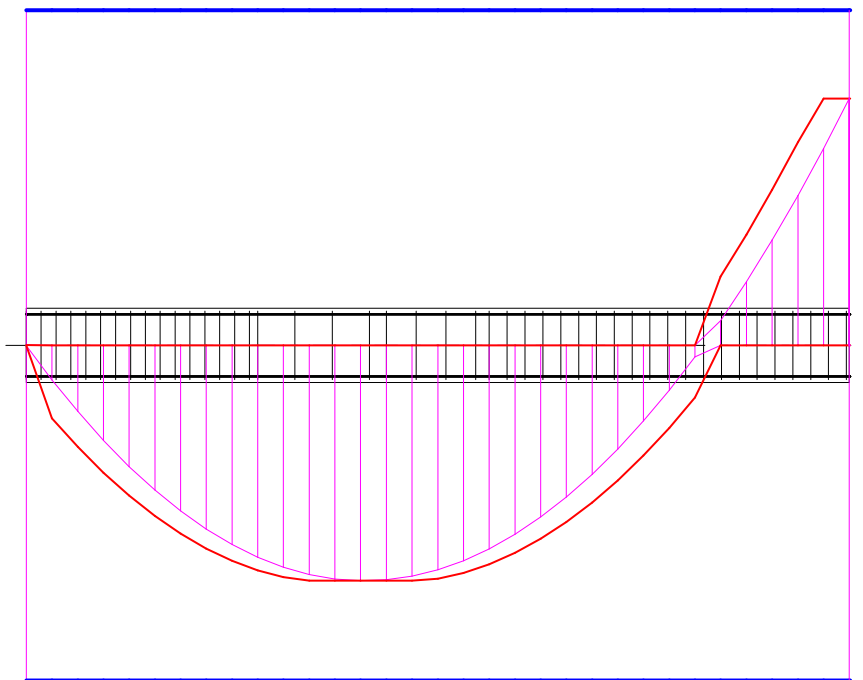
$$V_{Rd3} = V_{Rd31} + V_{Rd32} = \frac{A_{sw1} f_{ywd1}}{S_1} z \cot \theta + \frac{A_{sw2} f_{ywd2}}{S_2} z (\cot \theta + \cot \alpha) \sin \alpha =$$

$$= \frac{2,01 \times 420}{12,0} 41,2 \times 1,000 \times 10^{-1} = 289,8 \text{ kN}$$

$$V_{Sd} = 253,2 < 289,8 = V_{Rd3}$$

Nośność zbrojenia podłużnego

zadanie belkab1, pręt nr 1.



Sprawdzenie siły przenoszonej przez zbrojenie rozciągane dla $x = 5,530 \text{ m}$:

$$\Delta F_{td} = 0,5 |V_{Sd}| (\cot \theta - V_{Rd32} / V_{Rd3} \cot \alpha) = 0,5 \times 294,6 \times (1,000 - 0,0 / 289,8 \times 0,000) = 147,3 \text{ kN}$$

Sumaryczna siła w zbrojeniu rozciągany:

$$F_{td} = F_{td,m} + \Delta F_{td} = 607,7 + 147,3 = 755,1 \text{ kN};$$

$$F_{td} \leq F_{td,max} = 607,7 \text{ kN}$$

Przyjęto $F_{td} = 607,7 \text{ kN}$

$$F_{td} = 607,7 < 824,7 = 19,63 \times 420 \times 10^{-1} = A_s f_{yd}$$

Zarysowanie

zadanie belkab1, pręt nr 1,

Położenie przekroju:

$$x = 5,530 \text{ m}$$

Siły przekrojowe:

$$M_{Sd} = -197,1 \text{ kNm}$$

$$N_{Sd} = 0,4 \text{ kN} \quad e = 43806,3 \text{ cm}$$

$$V_{Sd} = -236,6 \text{ kN}$$

Wymiary przekroju:

$$b_w = 25,0 \text{ cm}$$

$$d = h - a_1 = 50,0 - 4,3 = 45,7 \text{ cm}$$

$$A_c = 1250 \text{ cm}^2$$

$$W_c = 10417 \text{ cm}^3$$

Minimalne zbrojenie:

Wymagane pole zbrojenia rozciąganego dla zginania, przy naprężeniach wywołanych przyczynami zewnętrznymi, wynosi:

$$A_s = k_c k f_{ct,eff} A_{ct} / \sigma_{s,lim} =$$

$$= 0,4 \times 1,0 \times 2,2 \times 625 / 200 = 2,75 \text{ cm}^2$$

$$A_{s1} = 19,63 > 2,75 = A_s$$

Zarysowanie:

$$M_{cr} = f_{ctm} W_c = 2,2 \times 10417 \times 10^{-3} = 22,9 \text{ kNm}$$

$$N_{cr} = \frac{f_{ctm}}{e / W_c + 1 / A_c} = \frac{2,2}{43806,3 / 10416,67 + 1 / 1250,00} \times 10^{-1} = 0,1 \text{ kN}$$

$$N_{sd} = 0,4 > 0,1 = N_{cr}$$

Przekrój zarysowany.

Szerokość rozwarcia rysy prostopadłej do osi pręta:

Przyjęto $k_2 = 0,5$.

$$\rho_r = A_s / A_{ct,eff} = 19,63 / 257 = 0,07640$$

$$s_{rm} = 50 + 0,25 k_1 k_2 \phi / \rho_r = 50 + 0,25 \times 0,8 \times 0,50 \times 25 / 0,07640 = 82,72$$

$$\epsilon_{sm} = \sigma_s / E_s [1 - \beta_1 \beta_2 (\sigma_{sr} / \sigma_s)^2] =$$

$$= 247,6 / 200000 \times [1 - 1,0 \times 0,5 \times (0,1 / 0,4)^2] = 0,00123$$

$$w_k = \beta s_{rm} \epsilon_{sm} = 1,7 \times 82,72 \times 0,00123 = 0,17 \text{ mm}$$

$$w_k = 0,17 < 0,3 = w_{lim}$$

Szerokość rozwarcia rysy ukośnej:

$$\rho_{w1} = \frac{A_{sw1}}{s_1 b_w} = \frac{2,01}{12,0 \times 25,0} = 0,00670$$

$$\rho_{w2} = \frac{A_{s2}}{s_2 b_w \sin \alpha} = 0,00000$$

$$\rho_w = \rho_{w1} + \rho_{w2} = 0,00670 + 0,00000 = 0,00670$$

$$\lambda = \frac{1}{3 \left[\frac{\rho_{w1}}{\eta_1 \phi_1} + \frac{\rho_{w2}}{\eta_2 \phi_2} \right]} = \frac{1}{3 \times [0,00670 / (0,7 \times 8,0)]} = 278,52$$

$$\tau = \frac{V_{sd}}{b_w d} = \frac{-236,6}{25,0 \times 45,7} \times 10 = 2,068 \text{ MPa}$$

$$w_k = \frac{4 \tau^2 \lambda}{\rho_w E_s f_{ck}} = \frac{4 \times 2,068^2 \times 278,52}{0,00670 \times 200000 \times 20} = 0,18 \text{ mm}$$

$$w_k = 0,18 < 0,3 = w_{lim}$$

Ugięcia

zadanie belkab1, pręt nr 1

Ugięcia wyznaczono dla charakterystycznych obciążeń długotrwałych.

Współczynniki pełzania dla obciążeń długotrwałych przyjęto równy $\phi(t, t_0) = 2,00$.

$$E_{c,eff} = \frac{E_{cm}}{1 + \phi(t, t_0)} = \frac{30000}{1 + 2,00} = 10000 \text{ MPa}$$

Moment rysujący:

$$M_{cr} = f_{ctm} W_c = 2,2 \times 10417 \times 10^{-3} = 22,9 \text{ kNm}$$

Całkowity moment zginający $M_{sd} = -197,1 \text{ kN}$ powoduje zarysowanie przekroju.

Sztywność dla długotrwałego działania obciążeń długotrwałych:

Sztywność na zginanie wyznaczona dla momentu $M_{sd} = -197,1$ kNm.

Wielkości geometryczne przekroju:

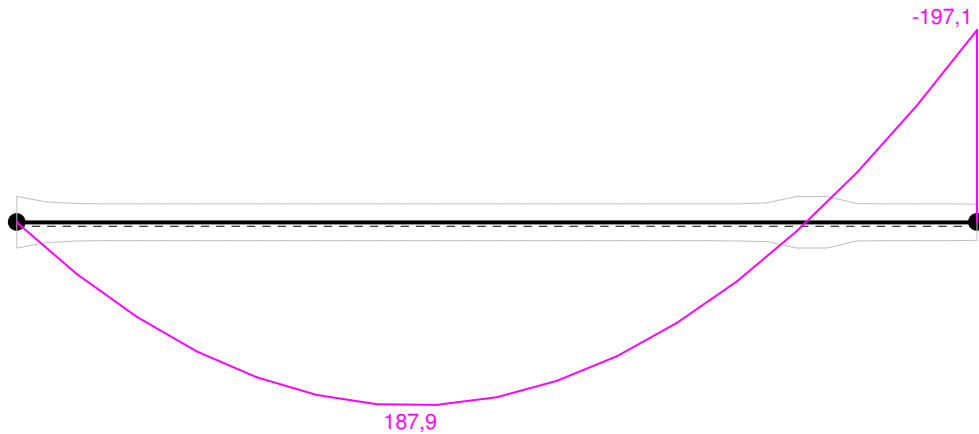
$$x_I = 25,0 \text{ cm}$$

$$I_I = 598580 \text{ cm}^4$$

$$x_{II} = 19,2 \text{ cm}$$

$$I_{II} = 423564 \text{ cm}^4$$

$$B = \frac{E_{c,eff} I_{II}}{1 - \beta_1 \beta_2 (M_{cr} / M_{sd})^2 (1 - I_{II} / I_I)} = \frac{10000 \times 423564}{1 - 1,0 \times 0,5 \times (22,9 / 197,1)^2 \times (1 - 423564 / 598580)} \times 10^{-5} = 42440 \text{ kNm}^2$$



Wykres sztywności i momentów dla obciążeń długotrwałych.



Ugięcia.

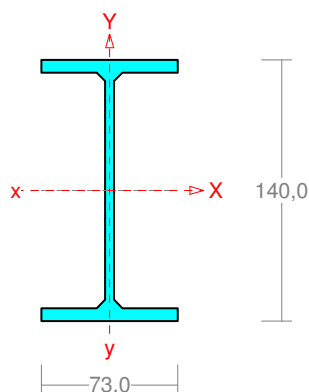
Ugięcie w punkcie o współrzędnej $x = 2,419$ cm, wyznaczone poprzez całkowanie funkcji krzywizny osi pręta ($1/p$) z uwzględnieniem zmiany sztywności wzdłuż osi elementu, wynosi:

$$a = a_{\infty,d} = 11,0 \text{ mm}$$

$$a = 11,0 < 22,1 = a_{lim}$$

c. Wspornik zadaszenia stalowego IPE140

Przekrój: I 140 PE



Wymiary przekroju:

I 140 PE $h=140,0$ $g=4,7$ $s=73,0$ $t=6,9$ $r=7,0$.

Charakterystyka geometryczna przekroju:

$J_x g=541,0$ $J_y g=44,9$ $A=16,40$ $i_x=5,7$ $i_y=1,7$ $J_w=1981,4$ $J_t=2,5$ $i_s=6,0$.

Materiał: St3SX, St3SY, St3S, St3V, St3W. Wytrzymałość $f_d=215$ MPa dla $g=6,9$.

Przekrój spełnia warunki przekroju klasy 1.

Siły przekrojowe:

$x_a = 0,000$; $x_b = 1,500$.

Obciążenia działające w płaszczyźnie układu: **ABF**

$M_x = 7,9$ kNm, $V_y = 9,9$ kN, $N = 0,0$ kN,

Napężenia w skrajnych włóknach: $\sigma_t = 101,8$ MPa $\sigma_c = -101,8$ MPa.

Napężenia:

$x_a = 0,000$; $x_b = 1,500$.

Napężenia w skrajnych włóknach: $\sigma_t = 101,8$ MPa $\sigma_c = -101,8$ MPa.

Napężenia:

- normalne: $\sigma = 0,0$ $\Delta\sigma = 101,8$ MPa $\psi_{oc} = 1,000$
 - ścinanie wzdłuż osi Y: $A_v = 6,6$ cm² $\tau = 15,1$ MPa $\psi_{ov} = 1,000$

Warunki nośności:

$$\sigma_{ec} = \sigma / \psi_{oc} + \Delta\sigma = 0,0 / 1,000 + 101,8 = 101,8 < 215 \text{ MPa}$$

$$\tau_{ey} = \tau / \psi_{ov} = 15,1 / 1,000 = 15,1 < 124,7 = 0,58 \times 215 \text{ MPa}$$

$$\sqrt{\sigma_e^2 + 3 \tau_e^2} = \sqrt{101,8^2 + 3 \times 0,0^2} = 101,8 < 215 \text{ MPa}$$

Długości wyboczeniowe pręta:

- przy wyboczeniu w płaszczyźnie układu przyjęto podatności węzłów ustalone wg załącznika 1 normy:

$$\chi_1 = 0,500 \quad \chi_2 = 1,000 \text{ węzły przesuwne} \Rightarrow \mu = 2,484 \text{ dla } l_0 = 1,500$$

$$l_w = 2,484 \times 1,500 = 3,726 \text{ m}$$

- przy wyboczeniu w płaszczyźnie prostopadłej do płaszczyzny układu:

$$\chi_1 = 1,000 \quad \chi_2 = 1,000 \text{ węzły nieprzesuwne} \Rightarrow \mu = 1,000 \text{ dla } l_0 = 1,500$$

$$l_w = 1,000 \times 1,500 = 1,500 \text{ m}$$

- dla wyboczenia skrętnego przyjęto współczynnik długości wyboczeniowej $\mu_{\omega} = 1,000$. Rozstaw stężeń zabezpieczających przed obrotem $l_{\omega} = 1,500$ m. Długość wyboczeniowa $l_{\omega} = 1,500$ m.

Siły krytyczne:

$$N_x = \frac{\pi^2 EJ}{l_w^2} = \frac{3,14^2 \times 205 \times 541,0}{3,726^2} 10^{-2} = 788,4 \text{ kN}$$

$$N_y = \frac{\pi^2 EJ}{l_w^2} = \frac{3,14^2 \times 205 \times 44,9}{1,500^2} 10^{-2} = 403,8 \text{ kN}$$

$$N_z = \frac{1}{i_s^2} \left(\frac{\pi^2 EJ_{\omega}}{l_{\omega}^2} + GJ_T \right) = \frac{1}{6,0^2} \left(\frac{3,14^2 \times 205 \times 1981,4}{1,500^2} 10^{-2} + 80 \times 2,5 \times 10^2 \right) = 1052,1 \text{ kN}$$

Zwichrzenie:

Dla dwuteownika walcowanego rozstaw stężeń zabezpieczających przekrój przed obrotem $l_1 = l_{\omega} = 1500$ mm:

$$\frac{35 i_y}{\beta} \sqrt{215 / f_d} = \frac{35 \times 16}{1,000} \times \sqrt{215 / 215} = 578 < 1500 = l_1$$

Pręt nie jest zabezpieczony przed zwichrzeniem.

Współrzędna punktu przyłożenia obciążenia $a_o = 0,00$ cm. Różnica współrzędnych środka ścinania i punktu przyłożenia siły $a_s = 0,00$ cm. Przyjęto następujące wartości parametrów zwichrzenia: $A_1 = 0,000$, $A_2 = 3,400$, $B = 4,100$.

$$A_o = A_1 b_y + A_2 a_s = 0,000 \times 0,00 + 3,400 \times 0,00 = 0,000$$

$$M_{cr} = \pm A_o N_y + \sqrt{(A_o N_y)^2 + B^2 i_s^2 N_y N_z} =$$

$$0,000 \times 403,8 + \sqrt{(0,000 \times 403,8)^2 + 4,100^2 \times 0,060^2 \times 403,8 \times 1052,1} = 159,7$$

Smukłość względna dla zwichrzenia wynosi:

$$\bar{\lambda}_L = 1,15 \sqrt{M_R / M_{cr}} = 1,15 \times \sqrt{16,6 / 159,7} = 0,371$$

Nośność przekroju na zginanie:

$x_a = 0,000$; $x_b = 1,500$.

- względem osi X

$$M_R = \alpha_p W f_d = 1,000 \times 77,3 \times 215 \times 10^{-3} = 16,6 \text{ kNm}$$

Współczynnik zwichrzenia dla $\bar{\lambda}_L = 0,371$ wynosi $\varphi_L = 0,997$

Warunek nośności (54):

$$\frac{M_x}{\varphi_L M_{R_x}} = \frac{7,9}{0,997 \times 16,6} = 0,475 < 1$$

Nośność przekroju na ścinanie:

$x_a = 0,000$; $x_b = 1,500$.

- wzdłuż osi Y

$$V_R = 0,58 A_v f_d = 0,58 \times 6,6 \times 215 \times 10^{-1} = 82,1 \text{ kN}$$

$$V_o = 0,6 V_R = 49,2 \text{ kN}$$

Warunek nośności dla ścinania wzdłuż osi Y:

$$V = 9,9 < 82,1 = V_R$$

Nośność przekroju zginanego, w którym działa siła poprzeczna:

$x_a = 0,000$; $x_b = 1,500$.

- dla zginania względem osi X: $V_y = 9,9 < 49,2 = V_o$

$$M_{R_x, V} = M_R = 16,6 \text{ kNm}$$

Warunek nośności (55):

$$\frac{M_x}{M_{R_x, V}} = \frac{7,9}{16,6} = 0,474 < 1$$

Nośność środka pod obciążeniem skupionym:

$x_a = 0,000$; $x_b = 1,500$.

Przyjęto szerokość rozkładu obciążenia skupionego $c = 0,0 \text{ mm}$.

Naprężenia ściskające w środku wynoszą $\sigma_c = 81,6 \text{ MPa}$. Współczynnik redukcji nośności wynosi:

$$\eta_c = 1,25 - 0,5 \sigma_c / f_d = 1,25 - 0,5 \times 81,6 / 215 = 1,000$$

Nośność środka na siłę skupioną:

$$P_{R, W} = c_o t_w \eta_c f_d = 69,5 \times 4,7 \times 1,000 \times 215 \times 10^{-3} = 70,2 \text{ kN}$$

Warunek nośności środka:

$$P = 0,0 < 70,2 = P_{R, W}$$

Stan graniczny użytkowania:

Ugięcia względem osi Y liczone od cięciwy pręta wynoszą:

$$a_{\max} = 0,5 \text{ mm}$$

$$a_{gr} = l / 350 = 1500 / 350 = 4,3 \text{ mm}$$

$$a_{\max} = 0,5 < 4,3 = a_{gr}$$

d.Stopa fundamentowa 180x180x40cm

Dane podstawowe

Założenia

Obliczenia geotechniczne wg normy

: PN-81/B-03020

Obliczenia żelbetu wg normy

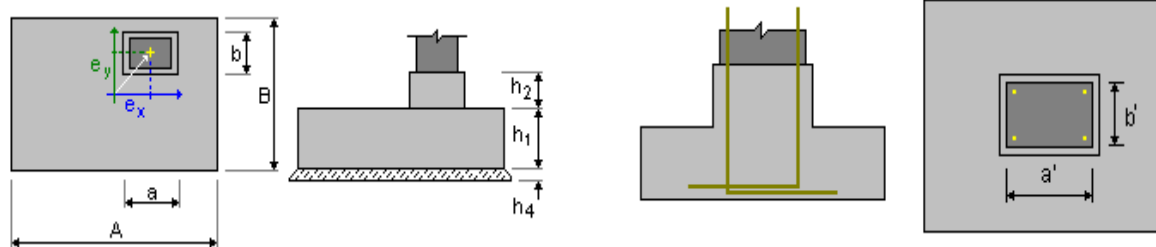
: PN-B-03264 (2002)

Dobór kształtu

: bez ograniczeń

Geometria:

A	= 1,80 (m)	a	= 0,25 (m)
B	= 1,80 (m)	b	= 0,25 (m)
h1	= 0,40 (m)	e _x	= 0,00 (m)
h2	= 0,00 (m)	e _y	= -0,00 (m)
h4	= 0,15 (m)		



a'	= 25,0 (cm)
b'	= 25,0 (cm)
c1	= 5,0 (cm)
c2	= 5,0 (cm)

Materiały

Beton: B25; wytrzymałość charakterystyczna = 20,00 MPa

ciężar objętościowy = 2501,36 (kG/m³)

Zbrojenie podłużne: typ A-IIIN (RB500W) wytrzymałość charakterystyczna = 500,00 MPa

Zbrojenie poprzeczne: typ A-IIIN (RB500W) wytrzymałość charakterystyczna = 500,00 MPa

Obciążenia:

Obciążenia fundamentu:

Przypadek	Natura	Grupa	N	F _x	F _y	M _x	M _y	
				(kN)	(kN)	(kN)	(kN*m)	(kN*m)
SGN1	obliczeniowe(ciążar własny)		----	268,56	1,48	2,83	-3,88	1,70
SGN2	obliczeniowe(ciążar własny)		----	314,79	1,46	3,61	-5,15	1,68
SGN3	obliczeniowe(ciążar własny)		----	299,24	1,51	2,43	-3,24	1,76
SGN4	obliczeniowe(ciążar własny)		----	305,82	1,51	3,02	-4,20	1,75
SGN5	obliczeniowe(ciążar własny)		----	308,60	1,46	3,03	-4,21	1,68
SGU	obliczeniowe(ciążar własny)		----	232,58	-0,00	1,12	-1,81	-0,00
sgn1prim	obliczeniowe(ciążar własny)		----	256,49	-1,50	-0,29	-0,22	-1,74
sgn2prim	obliczeniowe(ciążar własny)		----	283,42	-1,48	-0,63	0,33	-1,70
sgn3prim	obliczeniowe(ciążar własny)		----	283,42	-1,48	-0,63	0,33	-1,70
sgn4prim	obliczeniowe(ciążar własny)		----	288,79	-1,48	-0,12	-0,49	-1,70
sgn5prim	obliczeniowe(ciążar własny)		----	291,19	-1,52	-0,11	-0,50	-1,77

Lista kombinacji

1/SGN : SGN1 N=268,56 Mx=-3,88 My=1,70 Fx=1,48 Fy=2,83
 2/SGN : SGN2 N=314,79 Mx=-5,15 My=1,68 Fx=1,46 Fy=3,61
 3/SGN : SGN3 N=299,24 Mx=-3,24 My=1,76 Fx=1,51 Fy=2,43
 4/SGN : SGN4 N=305,82 Mx=-4,20 My=1,75 Fx=1,51 Fy=3,02
 5/SGN : SGN5 N=308,60 Mx=-4,21 My=1,68 Fx=1,46 Fy=3,03
 6/SGN : sgn1prim N=256,49 Mx=-0,22 My=-1,74 Fx=-1,50 Fy=-0,29
 7/SGN : sgn2prim N=283,42 Mx=0,33 My=-1,70 Fx=-1,48 Fy=-0,63
 8/SGN : sgn3prim N=283,42 Mx=0,33 My=-1,70 Fx=-1,48 Fy=-0,63
 9/SGN : sgn4prim N=288,79 Mx=-0,49 My=-1,70 Fx=-1,48 Fy=-0,12
 10/SGN : sgn5prim N=291,19 Mx=-0,50 My=-1,77 Fx=-1,52 Fy=-0,11
 11/SGU : SGU N=232,58 Mx=-1,81 My=-0,00 Fx=-0,00 Fy=1,12
 12/*SGN : SGN1 N=268,56 Mx=-3,88 My=1,70 Fx=1,48 Fy=2,83
 13/*SGN : SGN2 N=314,79 Mx=-5,15 My=1,68 Fx=1,46 Fy=3,61
 14/*SGN : SGN3 N=299,24 Mx=-3,24 My=1,76 Fx=1,51 Fy=2,43
 15/*SGN : SGN4 N=305,82 Mx=-4,20 My=1,75 Fx=1,51 Fy=3,02
 16/*SGN : SGN5 N=308,60 Mx=-4,21 My=1,68 Fx=1,46 Fy=3,03
 17/*SGN : sgn1prim N=256,49 Mx=-0,22 My=-1,74 Fx=-1,50 Fy=-0,29
 18/*SGN : sgn2prim N=283,42 Mx=0,33 My=-1,70 Fx=-1,48 Fy=-0,63
 19/*SGN : sgn3prim N=283,42 Mx=0,33 My=-1,70 Fx=-1,48 Fy=-0,63
 20/*SGN : sgn4prim N=288,79 Mx=-0,49 My=-1,70 Fx=-1,48 Fy=-0,12
 21/*SGN : sgn5prim N=291,19 Mx=-0,50 My=-1,77 Fx=-1,52 Fy=-0,11
 22/*SGU : SGU N=232,58 Mx=-1,81 My=-0,00 Fx=-0,00 Fy=1,12

Wymiarowanie geotechniczne

Założenia

Oznaczenie parametrów geotechnicznych metodą:

: B

współczynnik m = 0,81 - do obliczeń nośności

współczynnik m = 0,72 - do obliczeń poślizgu

współczynnik m = 0,72 - do obliczeń obrotu

Wymiarowanie fundamentu na:

Nośność

Osiadanie średnie

- Sdop = 7,0 (cm)

- czas realizacji budynku: tb > 12 miesięcy

- σ_c = 1,00

Przesunięcie

Obrót

Graniczne położenie wypadkowej obciążeń:

- długotrwałych: w rdzeniu I

- całkowitych: w rdzeniu II

Grunt:

Poziom gruntu: N₁ = 1,10 (m)

Poziom trzonu słupa: N_a = 0,00 (m)

Piasek średni

- Poziom gruntu: 1.10 (m)
- Miąższość: 1.10 (m)
- Ciężar objętościowy: 1886.47 (kG/m³)
- Ciężar właściwy szkieletu: 2702.25 (kG/m³)
- Kąt tarcia wewnętrzznego: 33.6 (Deg)
- Kohezja: 0.00 (MPa)
- IL / ID: 0.60
- Symbol konsolidacji: ----
- Typ wilgotności: wilgotne
- Mo: 113.54 (MPa)
- M: 126.15 (MPa)

Piasek gliniasty

- Poziom gruntu: 0.00 (m)
- Miąższość: 2.20 (m)
- Ciężar objętościowy: 2192.39 (kG/m³)
- Ciężar właściwy szkieletu: 2702.25 (kG/m³)
- Kąt tarcia wewnętrzznego: 19.9 (Deg)

- Kohezja: 0.04 (MPa)
- IL / ID: 0.11
- Symbol konsolidacji: B
- Typ wilgotności: ----
- Mo: 46.56 (MPa)
- M: 62.08 (MPa)

Gлина пiaszczysta

- Poziom gruntu: -2.20 (m)
- Miąższość: 1.00 (m)
- Ciężar objętościowy: 2141.40 (kG/m3)
- Ciężar właściwy szkieletu: 2722.64 (kG/m3)
- Kąt tarcia wewnętrznego: 16.8 (Deg)
- Kohezja: 0.03 (MPa)
- IL / ID: 0.28
- Symbol konsolidacji: B
- Typ wilgotności: ----
- Mo: 30.47 (MPa)
- M: 40.62 (MPa)

Stany graniczne

Obliczenia naprężeń

Rodzaj podłoża pod fundamentem: warstwowe

Kombinacja wymiarująca **SGN : SGN2 N=314,79 Mx=-5,15 My=1,68 Fx=1,46 Fy=3,61**

Współczynniki obciążeniowe: **1.10 * ciężar fundamentu**

1.20 * ciężar gruntu

Wyniki obliczeń: na poziomie posadowienia fundamentu

Ciężar fundamentu i nadległego gruntu: Gr = 112,56 (kN)

Obciążenie wymiarujące:

Nr = 427,35 (kN) Mx = -6,59 (kN*m) My = 2,27 (kN*m)

Mimośród działania obciążenia:

eB = 0,02 (m) eL = 0,01 (m)

Wymiary zastępcze fundamentu: B₋ = 1,77 (m) L₋ = 1,79 (m)

Głębokość posadowienia: Dmin = 1,50 (m)

Współczynniki nośności:

NB = 1.03

NC = 13.07

ND = 5.23

Współczynniki wpływu nachylenia obciążenia:

iB = 0.97

iC = 0.98

iD = 0.99

Parametry geotechniczne:

c_u = 0.03 (MPa)

D = 1771.25 (kG/m3)

u = 1028,6

B = 1973.15 (kG/m3)

Graniczny opór podłoża gruntowego: Q_f = 2801,42 (kN)

Naprężenie w gruncie: 0.13 (MPa)

Współczynnik bezpieczeństwa: Q_f * m / Nr = 5.31 > 1

Osiadanie średnie

Rodzaj podłoża pod fundamentem: warstwowe

Kombinacja wymiarująca **SGU : SGU N=232,58 Mx=-1,81 My=-0,00 Fx=-0,00 Fy=1,12**

Współczynniki obciążeniowe: **1.00 * ciężar fundamentu**

1.00 * ciężar gruntu

Ciężar fundamentu i nadległego gruntu: Gr = 96,45 (kN)

Średnie naprężenie od obciążenia wymiarującego:

q = 0,10 (MPa)

Miąższość podłoża gruntowego aktywnie osiadającego:

z = 2,70 (m)

Naprężenie na poziomie z:

- dodatkowe: z_d = 0,01 (MPa)

- wywołane ciężarem gruntu: z_{''} = 0,09 (MPa)

Osiadanie:

- pierwotne s' = 0,2 (cm)

- wtórne $s'' = 0,1$ (cm)
 - CAŁKOWITE $S = 0,3$ (cm) < $S_{adm} = 7,0$ (cm)
 Współczynnik bezpieczeństwa: $27.06 > 1$

Odrywanie

Odrywanie w SGN

Kombinacja wymiarująca **SGN : SGN2 N=314,79 Mx=-5,15 My=1,68 Fx=1,46 Fy=3,61**

Współczynniki obciążeniowe: **0.90** * ciężar fundamentu

0.90 * ciężar gruntu

Powierzchnia kontaktu: $s = -12,60$

$s_{lim} = 0,00$

Przesunięcie

Kombinacja wymiarująca **SGN : SGN2 N=314,79 Mx=-5,15 My=1,68 Fx=1,46 Fy=3,61**

Współczynniki obciążeniowe: **0.90** * ciężar fundamentu

0.90 * ciężar gruntu

Ciężar fundamentu i nadległego gruntu: $Gr = 86,81$ (kN)

Obciążenie wymiarujące:

$Nr = 401,60$ (kN) $Mx = -6,59$ (kN*m) $My = 2,27$ (kN*m)

Wymiary zastępcze fundamentu: $A_ = 1,80$ (m) $B_ = 1,80$ (m)

Współczynnik tarcia fundament - gruntu: $= 0,28$

Kohezja: $C = 0,01$ (MPa)

Współczynnik redukcji spójności gruntu $= 0,20$

Wartość siły poślizgu $F = 3,89$ (kN)

Wartość siły zapobiegającej poślizgowi fundamentu:

- na poziomie posadowienia: $F(stab) = 134,68$ (kN)

Stateczność na przesunięcie: $F(stab) * m / F = 24.9 > 1$

Obrót

Wokół osi OX

Kombinacja wymiarująca **SGN : SGN2 N=314,79 Mx=-5,15 My=1,68 Fx=1,46 Fy=3,61**

Współczynniki obciążeniowe: **0.90** * ciężar fundamentu

0.90 * ciężar gruntu

Ciężar fundamentu i nadległego gruntu: $Gr = 86,81$ (kN)

Obciążenie wymiarujące:

$Nr = 401,60$ (kN) $Mx = -6,59$ (kN*m) $My = 2,27$ (kN*m)

Moment stabilizujący: $M_{stab} = 361,44$ (kN*m)

Moment obracający: $M_{renv} = 6,59$ (kN*m)

Stateczność na obrót: $M_{stab} * m / M = 39.47 > 1$

Wokół osi OY

Kombinacja wymiarująca: **SGN : sgn1prim N=256,49 Mx=-0,22 My=-1,74 Fx=-1,50 Fy=-0,29**

Współczynniki obciążeniowe: **0.90** * ciężar fundamentu

0.90 * ciężar gruntu

Ciężar fundamentu i nadległego gruntu: $Gr = 86,81$ (kN)

Obciążenie wymiarujące:

$Nr = 343,30$ (kN) $Mx = -0,11$ (kN*m) $My = -2,35$ (kN*m)

Moment stabilizujący: $M_{stab} = 308,97$ (kN*m)

Moment obracający: $M_{renv} = 2,35$ (kN*m)

Stateczność na obrót: $M_{stab} * m / M = 94.86 > 1$

Wymiarowanie żelbetowe

Założenia

Środowisko : XC1

Analiza przebiecia i ścinania

Ścinanie

Kombinacja wymiarująca

SGN : SGN2 N=314,79 Mx=-5,15 My=1,68 Fx=1,46 Fy=3,61

Współczynniki obciążeniowe:

0.90 * ciężar fundamentu

0.90 * ciężar gruntu

Obciążenie wymiarujące:

$Nr = 401,60$ (kN) $Mx = -6,59$ (kN*m) $My = 2,27$ (kN*m)

Długość obwodu krytycznego: $0,59$ (m)

Siła ścinająca: $79,01$ (kN)

Wysokość użyteczna przekroju $heff = 0,34$ (m)

Powierzchnia ścinania: $A = 0,20$ (m²)

$f_{ctd} = 1,03$ (MPa)

Współczynnik bezpieczeństwa: $2.619 > 1$

Warunek 87 PN-B-03264:2000

Długość obwodu krytycznego:

0,59 (m)

Sila $N(S_d) = (g+q)_{\max} \cdot A$

79,01 (kN)

Wysokość użyteczna przekroju

$d = 0,34$ (m)

Naprężenia ekstremalne $(g+q)_{\max}$

0,13 (MPa)

Pole powierzchni konturu ABCDEF

$A = 0,59$ (m²)

f_{ctd} 1,03 (MPa)

Współczynnik bezpieczeństwa:

$2.619 > 1$

Zbrojenie teoretyczne

Stopa:

dolne:

SGN : SGN2 N=314,79 $M_x=-5,15$ $M_y=1,68$ $F_x=1,46$ $F_y=3,61$

$M_y = 37,97$ (kN*m) $A_{sx} = 17,00$ (cm²/m)

SGN : SGN2 N=314,79 $M_x=-5,15$ $M_y=1,68$ $F_x=1,46$ $F_y=3,61$

$M_x = 39,29$ (kN*m) $A_{sy} = 17,00$ (cm²/m)

$A_s \min = 17,00$ (cm²/m)

górne:

$A'_{sx} = 0,00$ (cm²/m)

$A'_{sy} = 0,00$ (cm²/m)

$A_s \min = 0,00$ (cm²/m)

Projektant konstrukcji:

mgr inż. Adam Kowalski

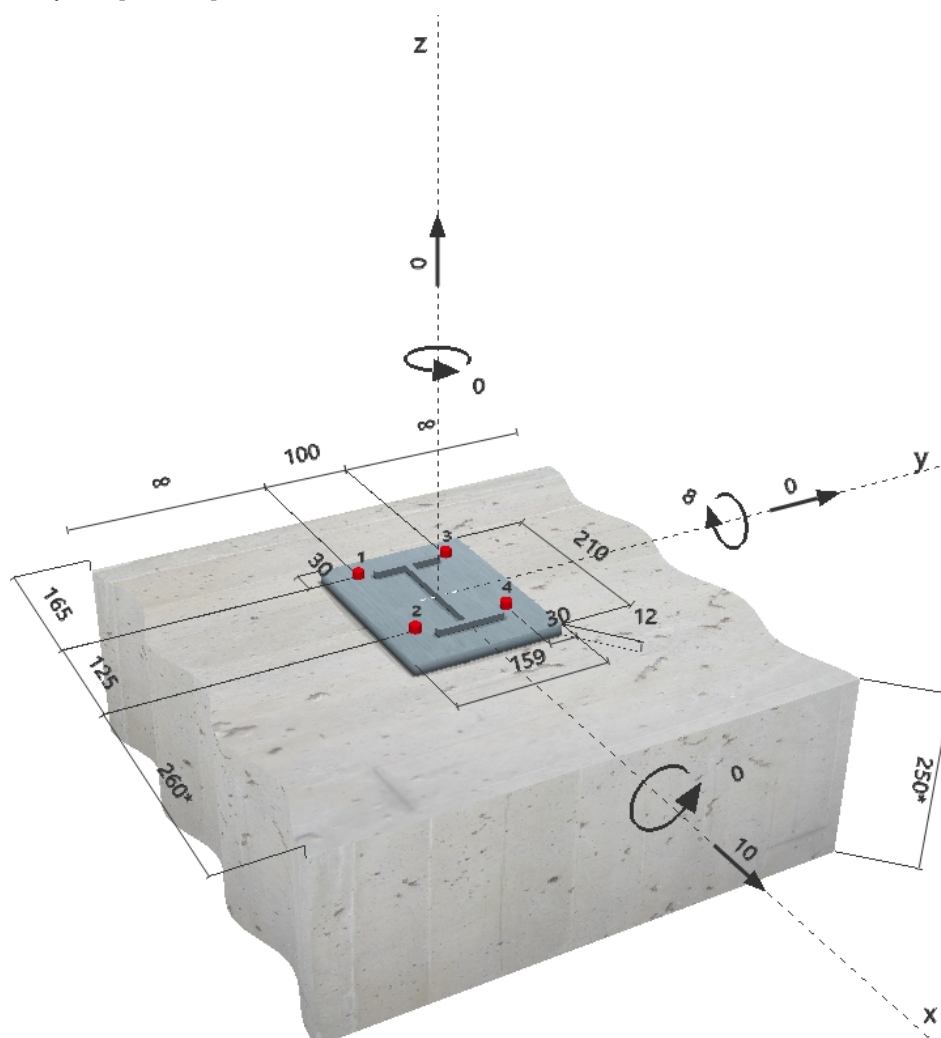
IV.DOBÓR KOTEW CHEMICZNYCH

Firma: Pro-Kor
Projektant:
Adres:
Telefon i Faks: |
E-mail:

Strona: 1
Projekt: Przychodnia Dobrzejewi
Nr i poz. sub-projektu: Mocowanie IPE140
Data: 14.12.2019

Uwagi projektanta:
1 Wprowadzane dane


Typ i średnica kotwy:	HIT-HY 200-A + HIT-V (8.8) M12
Czynna głębokość zakotwienia:	$h_{ef,opti} = 143 \text{ mm}$ ($h_{ef,limit} = 220 \text{ mm}$)
Materiał:	8.8
Raport instytucji aprobowanej:	ETA 11/0493
Wydanie i Ważność:	08.08.2012 23.12.2016
Obliczenia:	metoda wymiarowania ETAG BOND; Raport Techniczny EOTA TR 029
Montaż dystansowy:	$e_b = 0 \text{ mm}$ (brak dystansu); $t = 12 \text{ mm}$
Blacha czołowa:	$l_x \times l_y \times t = 210 \text{ mm} \times 159 \text{ mm} \times 12 \text{ mm}$; (Zalecana grubość blachy czołowej: nie obliczone)
Profil:	IPE; (Dł. x Szer. x Gr.) = $140 \text{ mm} \times 73 \text{ mm} \times 7 \text{ mm}$
Materiał podłoża:	strefa ściskana beton, C20/25, $f_{cc} = 25,00 \text{ N/mm}^2$; $h = 250 \text{ mm}$, Temperatura krótkotrwała/długotrwała: 0/0 °C
Montaż:	otwór wiercony udarowo, warunki montażu: suchy
Zbrojenie:	rozstaw zbrojenia $< 150 \text{ mm}$ (wszystkie \emptyset) lub $< 100 \text{ mm}$ ($\emptyset \leq 10 \text{ mm}$) ze zbrojeniem podłużnym krawędzi $d \geq 12$ + zagęszczona siatka (strzemiona, wieszaki) $s \leq$ Zbrojenie przeciwdziałające rozłupaniu betonu zgodnie z EOTA TR 029, 5.2.2.6

Geometria [mm] & Obciążenie [kN, kNm]


Firma: Pro-Kor
 Projektant:
 Adres:
 Telefon i Faks: |
 E-mail:

Strona: 2
 Projekt: Przychodnia Dobrzejewi
 Nr i poz. sub-projektu: Mocowanie IPE140
 Data: 14.12.2019

2 Przypadek obciążeń/Wynikowe siły w kotwach

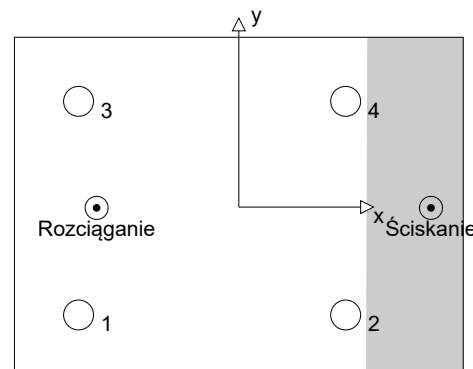
Przypadek obciążeń: Obciążenia obliczeniowe

Reakcje w kotwach [kN]

Siła rozciągająca: (+Odrywanie, -Docisk)

Kotwa	Siła rozciągająca	Siła ścinająca	Siła ścinająca X	Siła ścinająca Y
1	23,798	2,490	2,490	0,012
2	1,697	2,490	2,490	-0,012
3	23,868	2,510	2,510	0,012
4	1,766	2,510	2,510	-0,012

maks. odkształcenia betonu przy ścinaniu: 0,48 [%]
 maks. naprężenia w betonie przy ścinaniu: 14,32 [N/mm²]
 wypadkowa siła rozciągająca w (x/y)=(-67/0): 51,128 [kN]
 wypadkowa siła ściskająca w (x/y)=(90/0): 51,128 [kN]



3 Obciążenie rozciągające (Rozdział 5.2.2 Raportu Technicznego EOTA TR 029)

	Obciążenie [kN]	Wartość [kN]	Wykorzystanie β_N [%]	Status
Nośność Stali*	23,868	44,667	54	OK
Zniszczenie przez kombinację: wyciągnięcie kotwy-wyrwanie stożka betonu **	51,128	69,561	74	OK
Nośność na Wyrwanie Stożka Betonu**	51,128	51,691	99	OK
Zniszczenie przez rozłupanie betonu**	51,128	67,805	76	OK

*kotwa w najbardziej niekorzystnym położeniu **grupa kotew (kotwy rozciągane)

3.1 Nośność Stali

$N_{Rk,s}$ [kN]	$\gamma_{M,s}$	$N_{Rd,s}$ [kN]	N_{Sd} [kN]
67,000	1,500	44,667	23,868

3.2 Zniszczenie przez kombinację: wyciągnięcie kotwy-wyrwanie stożka betonu

$A_{p,N}$ [mm ²]	$A_{p,N}^0$ [mm ²]	$\tau_{Rk,ucr,25}$ [N/mm ²]	$s_{cr,Np}$ [mm]	$c_{cr,Np}$ [mm]	c_{min} [mm]
239050	153600	20,00	392	196	165
ψ_c	$\tau_{Rk,ucr}$ [N/mm ²]	k	$\psi_{g,Np}^0$	$\psi_{g,Np}$	
1,000	20,00	3,200	1,000	1,000	
$e_{c1,N}$ [mm]	$\psi_{ec1,Np}$	$e_{c2,N}$ [mm]	$\psi_{ec2,Np}$	$\psi_{s,Np}$	$\psi_{re,Np}$
54	0,784	0	0,999	0,953	1,000
$N_{Rk,p}^0$ [kN]	$N_{Rk,p}$ [kN]	$\gamma_{M,p}$	$N_{Rd,p}$ [kN]	N_{Sd} [kN]	
107,819	125,210	1,800	69,561	51,128	

3.3 Nośność na Wyrwanie Stożka Betonu

$A_{c,N}$ [mm ²]	$A_{c,N}^0$ [mm ²]	$c_{cr,N}$ [mm]	$s_{cr,N}$ [mm]			
266878	184041	215	429			
$e_{c1,N}$ [mm]	$\psi_{ec1,N}$	$e_{c2,N}$ [mm]	$\psi_{ec2,N}$	$\psi_{s,N}$	$\psi_{re,N}$	k_1
54	0,799	0	0,999	0,931	1,000	10,100
$N_{Rk,c}^0$ [kN]	$\gamma_{M,c}$	$N_{Rd,c}$ [kN]	N_{Sd} [kN]			
86,357	1,800	51,691	51,128			

3.4 Zniszczenie przez rozłupanie betonu

$A_{c,N}$ [mm ²]	$A_{c,N}^0$ [mm ²]	$c_{cr,sp}$ [mm]	$s_{cr,sp}$ [mm]	$\psi_{h,sp}$		
256663	172723	208	416	1,278		
$e_{c1,N}$ [mm]	$\psi_{ec1,N}$	$e_{c2,N}$ [mm]	$\psi_{ec2,N}$	$\psi_{s,N}$	$\psi_{re,N}$	k_1
54	0,794	0	0,999	0,938	1,000	10,100
$N_{Rk,c}^0$ [kN]	$\gamma_{M,sp}$	$N_{Rd,sp}$ [kN]	N_{Sd} [kN]			
86,357	1,800	67,805	51,128			

Firma: Pro-Kor
 Projektant:
 Adres:
 Telefon i Faks: |
 E-mail:

Strona: 3
 Projekt: Przychodnia Dobrzejewi
 Nr i poz. sub-projektu: Mocowanie IPE140
 Data: 14.12.2019

4 Obciążenie ścinające (Rozdział 5.2.3 Raportu Technicznego EOTA TR 029)

	Obciążenie [kN]	Wartość [kN]	Wykorzystanie β_v [%]	Status
Nośność Stali (bez udziału momentu zginającego)*	2,510	27,200	10	OK
Zniszczenie stali (przy udziale momentu zginającego)*	N/A	N/A	N/A	N/A
Nośność na Wylupanie**	10,000	155,046	7	OK
Zniszczenie krawędzi betonu w kierunku x^{+} **	10,000	47,611	22	OK

*kotwa w najbardziej niekorzystnym położeniu **grupa kotew (istotne kotwy)

4.1 Nośność Stali (bez udziału momentu zginającego)

$V_{Rk,s}$ [kN]	$\gamma_{M,s}$	$V_{Rd,s}$ [kN]	V_{Sd} [kN]
34,000	1,250	27,200	2,510

4.2 Nośność na Wylupanie (dotyczy wyrwania betonu)

$A_{c,N}$ [mm ²]	$A_{c,N}^0$ [mm ²]	$c_{cr,N}$ [mm]	$s_{cr,N}$ [mm]	k-factor	k_1	
266878	184041	215	429	2,000	10,100	
$e_{c1,V}$ [mm]	$\psi_{ec1,N}$	$e_{c2,V}$ [mm]	$\psi_{ec2,N}$	$\psi_{s,N}$	$\psi_{re,N}$	$N_{Rk,c}^0$ [kN]
0	1,000	1	0,998	0,931	1,000	86,357
$\gamma_{M,c,p}$	$V_{Rd,c1}$ [kN]	V_{Sd} [kN]				
1,500	155,046	10,000				

4.3 Zniszczenie krawędzi betonu w kierunku x^{+}

h_{ef} [mm]	d_{nom} [mm]	k_1	α	β	
143	12,0	2,400	0,074	0,054	
c_1 [mm]	$A_{c,V}$ [mm ²]	$A_{c,V}^0$ [mm ²]			
260	220004	304211			
$\psi_{s,V}$	$\psi_{h,V}$	$\psi_{a,V}$	$e_{c,V}$ [mm]	$\psi_{ec,V}$	$\psi_{re,V}$
1,000	1,249	1,000	0	0,999	1,000
$V_{Rk,c}^0$ [kN]	$\gamma_{M,c}$	$V_{Rd,c}$ [kN]	V_{Sd} [kN]		
79,103	1,500	47,611	10,000		

5 Kombinacja obciążeń rozciągającego i ścinającego (Rozdział 5.2.4 Raportu Technicznego EOTA TR 029)

β_N	β_V	α	Wykorzystanie $\beta_{N,V}$ [%]	Status
0,989	0,210	1,000	100	OK

$$(\beta_N + \beta_V) / 1.2 \leq 1$$

6 Przemieszczenia (najbardziej obciążona kotwa)

Obciążenia krótkotrwałe:

N_{Sk} = 1,308 [kN]	δ_N = 0,007 [mm]
V_{Sk} = 3,704 [kN]	δ_V = 0,185 [mm]
	δ_{NV} = 0,185 [mm]

Obciążenia długotrwałe:

N_{Sk} = 1,308 [kN]	δ_N = 0,015 [mm]
V_{Sk} = 3,704 [kN]	δ_V = 0,296 [mm]
	δ_{NV} = 0,297 [mm]

Uwagi: Przemieszczenia pod wpływem sił rozciągających obowiązują przy połowie wartości wymaganego montażowego momentu dokręcającego dla strefa ściskana betonu! Przemieszczenia pod wpływem sił ścinających obowiązują bez tarcia pomiędzy betonem i blachą czołową! Szczeliny wynikające z tolerancji dla wierconego otworu i otworu przelotowego nie zostały uwzględnione w obliczeniach!

Dopuszczalne przemieszczenia kotwy zależą od typu mocowanej konstrukcji i muszą być określone przez projektanta!

Firma: Pro-Kor
Projektant:
Adres:
Telefon i Faks: |
E-mail:

Strona: 4
Projekt: Przychodnia Dobrzejewi
Nr i poz. sub-projektu: Mocowanie IPE140
Data: 14.12.2019

7 Ostrzeżenia

- Aby uniknąć awarii blachy czołowej wymagana grubość płyty może być obliczona za pomocą PROFIS Anchor. Re-dystrybucja obciążeń na kotwy, wynikających z odkształceń sprężystych blachy czołowej nie są rozpatrywane. Zakłada się, że blacha czołowa jest wystarczająco sztywna, aby nie uległa deformacji gdy zostanie poddana obciążeniu!
- Sprawdzenie przekazywania obciążeń na podłoże jest wymagane zgodnie z Rozdziałem 7 Raportu Technicznego TR029 EOTA!
- Obliczenia są ważne wyłącznie wtedy, gdy średnica otworu przelotowego w elemencie mocowanym nie jest większa, niż wartość podana w Tabeli 4.1 Raportu Technicznego TR029 wydanego przez EOTA! W przypadku otworów przelotowych o większych średnicach należy zapoznać się z Rozdziałem 1.1. Raportu Technicznego TR029 EOTA!
- Lista akcesoriów w raporcie podana została informacyjnie. W każdym przypadku instrukcje zamieszczone przy produkcie muszą być przestrzegane, aby montaż był wykonany prawidłowo.
- Czyszczenie wywierconego otworu musi być przeprowadzone zgodnie z instrukcją użytkowania (2-krotne przedmuchiwanie niezależnym sprężonym powietrzem (co najmniej 6 bar), 2-krotne szczotkowanie, ponowne 2-krotne przedmuchiwanie niezależnym sprężonym powietrzem (co najmniej 6 bar)).
- Nośność charakterystyczna wiązania chemicznego zależy od krótko- i długoterminowych oddziaływań temperatur.
- Prosimy o kontakt z firmą Hilti celem sprawdzenia możliwości dostawy prętów HIT-V.
- Dla zabezpieczenia elementu betonowego przed zniszczeniem przez rozłupanie wymagane jest następujące zbrojenie równoległe do krawędzi

Zamocowanie spełnia wymogi projektu!

Firma: Pro-Kor
Projektant:
Adres:
Telefon i Faks: |
E-mail:

Strona: 6
Projekt: Przychodnia Dobrzejewi
Nr i poz. sub-projektu: Mocowanie IPE140
Data: 14.12.2019

9 Uwagi; Obowiązki współpracy

- Jakiegokolwiek informacje i dane zawarte w Oprogramowaniu dotyczą wyłącznie użytkowania produktów Hilti i są oparte na zasadach, formułach i przepisach bezpieczeństwa zgodnie z wytycznymi technicznymi oraz instrukcjami obsługi, montażu i instalacji firmy Hilti, które użytkownik musi ściśle przestrzegać. Wszystkie dane cyfrowe zawarte w tym dokumencie są cyframi średnimi, i – w związku z tym - testy właściwe dla zastosowania będą przeprowadzone przed użyciem stosownego produktu Hilti. Wyniki obliczeń przeprowadzonych przy pomocy Oprogramowania są oparte zasadniczo na danych wprowadzonych przez Państwo. W związku z tym, ponosicie Państwo wyłączną odpowiedzialność błędy, kompletność i stosowność danych wprowadzanych przez was. Ponadto, ponosicie Państwo wyłączną odpowiedzialność za sprawdzenie i uznanie wyników obliczeń przez eksperta, w szczególności w odniesieniu do zgodności ze stosownymi normami i pozwoleniami, przed ich zastosowaniem w waszym określonym miejscu. Oprogramowanie służy wyłącznie jako pomoc w interpretowaniu norm i pozwoleń, bez jakiegokolwiek gwarancji dotyczącej braku błędów, prawidłowości i stosowności wyników lub ich odpowiedniości w określonej aplikacji.
- Musicie Państwo podjąć wszelkie niezbędne i stosowne kroki, aby uniknąć lub ograniczyć szkody spowodowane Oprogramowaniem. W szczególności, musicie ustalić regularne archiwizowanie programów i danych oraz, gdy stosowne, przeprowadzać aktualizacje Oprogramowania oferowane regularnie przez firmę Hilti. W przypadku, gdy nie korzystacie Państwo z funkcji AutoUpdate (automatyczna aktualizacja) Oprogramowania, musicie zapewnić, że stosujecie aktualną wersję Oprogramowania w każdym przypadku poprzez przeprowadzanie aktualizacji ręcznych z witryny internetowej firmy Hilti. Firma Hilti nie będzie odpowiedzialna za konsekwencje, takie jak odtworzenie utraconych lub uszkodzonych danych lub programów, powstałe z naruszenia obowiązku zawinionego przez Państwo.

Firma: Pro-Kor
Projektant:
Adres:
Telefon i Faks: |
E-mail:

Strona:
Projekt:
Nr i poz. sub-projektu:
Data:

1
Przychodnia Dobrzejewi
RK100_DÓŁ
14.12.2019

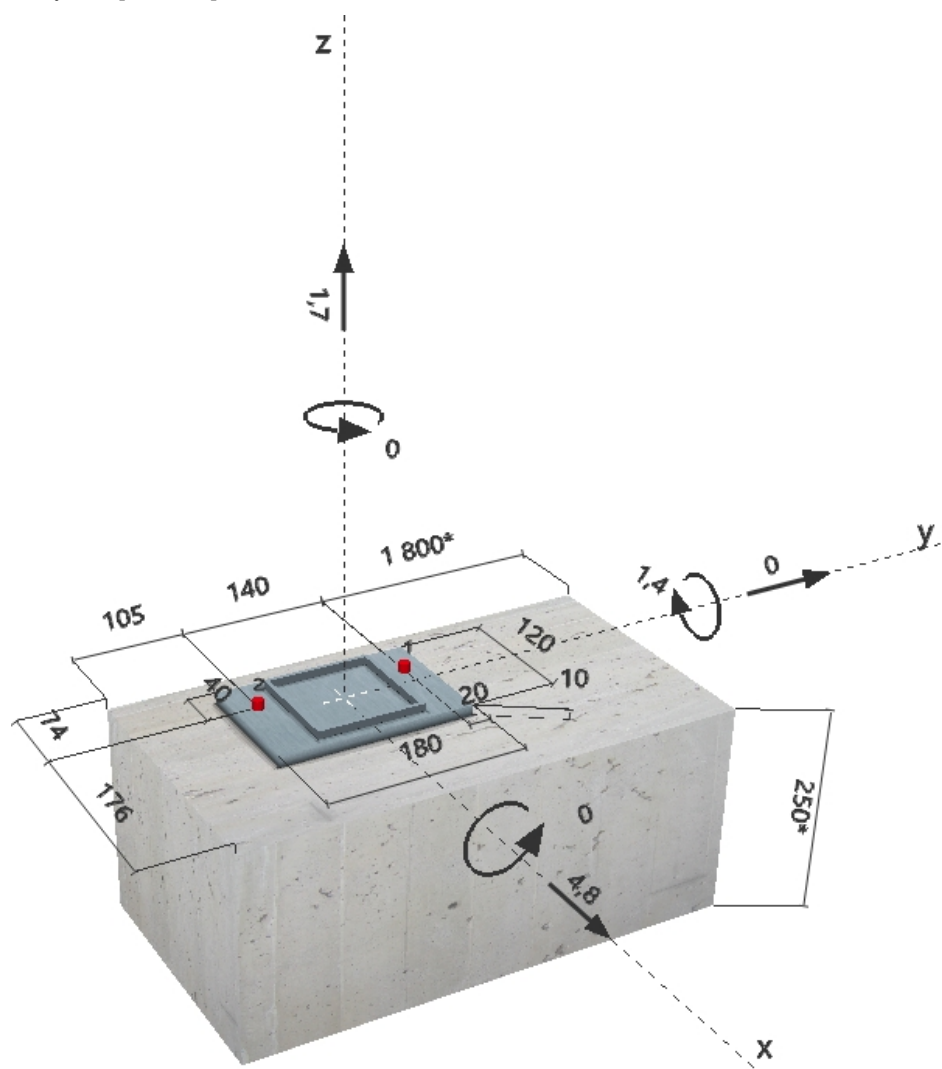
Uwagi projektanta:

1 Wprowadzane dane



Typ i średnica kotwy:	HIT-HY 200-A + HIS-N (8.8) M10
Czynna głębokość zakotwienia:	$h_{ef,act} = 110 \text{ mm}$, $h_{nom} = 110 \text{ mm}$
Materiał:	8.8
Raport instytucji aprobowanej:	ETA 11/0493
Wydanie i Ważność:	08.08.2012 23.12.2016
Obliczenia:	metoda wymiarowania ETAG BOND; Raport Techniczny EOTA TR 029
Montaż dystansowy:	$e_b = 0 \text{ mm}$ (brak dystansu); $t = 10 \text{ mm}$
Blacha czołowa:	$l_x \times l_y \times t = 120 \text{ mm} \times 180 \text{ mm} \times 10 \text{ mm}$; (Zalecana grubość blachy czołowej: nie obliczone)
Profil:	Rura kwadratowa; (Dł. x Szer. x Gr.) = $100 \text{ mm} \times 100 \text{ mm} \times 4 \text{ mm}$
Materiał podłoża:	strefa ściskana beton, C20/25, $f_{cc} = 25,00 \text{ N/mm}^2$; $h = 250 \text{ mm}$, Temperatura krótkotrwała/długotrwała: 0/0 °C
Montaż:	otwór wiercony udarowo, warunki montażu: suchy
Zbrojenie:	rozstaw zbrojenia $< 150 \text{ mm}$ (wszystkie \emptyset) lub $< 100 \text{ mm}$ ($\emptyset \leq 10 \text{ mm}$) ze zbrojeniem podłużnym krawędzi $d \geq 12$ + zagęszczona siatka (strzemiona, wieszaki) $s \leq$

Geometria [mm] & Obciążenie [kN, kNm]



Firma: Pro-Kor
Projektant:
Adres:
Telefon i Faks: |
E-mail:

Strona: 2
Projekt: Przychodnia Dobrzejewi
Nr i poz. sub-projektu: RK100_DÓŁ
Data: 14.12.2019

2 Przypadek obciążeń/Wynikowe siły w kotwach

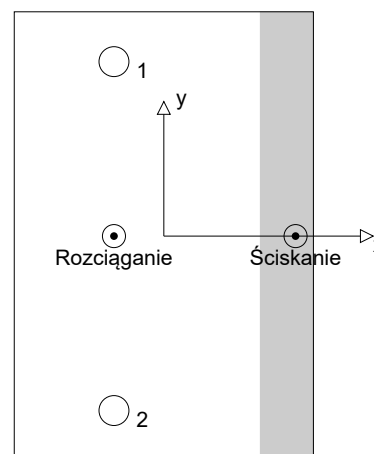
Przypadek obciążeń: Obciążenia obliczeniowe

Reakcje w kotwach [kN]

Siła rozciągająca: (+Odrywanie, -Docisk)

Kotwa	Siła rozciągająca	Siła ścinająca	Siła ścinająca X	Siła ścinająca Y
1	10,226	2,400	2,400	0,000
2	10,226	2,400	2,400	0,000

maks. odkształcenia betonu przy ścinaniu: 0,32 [%]
maks. naprężenia w betonie przy ścinaniu: 9,70 [N/mm²]
wypadkowa siła rozciągająca w (x/y)=(-20/0): 20,453 [kN]
wypadkowa siła ściskająca w (x/y)=(53/0): 18,753 [kN]



3 Obciążenie rozciągające (Rozdział 5.2.2 Raportu Technicznego EOTA TR 029)

	Obciążenie [kN]	Wartość [kN]	Wykorzystanie β_N [%]	Status
Nośność Stali*	10,226	30,667	34	OK
Zniszczenie przez kombinację: wyciągnięcie kotwy-wyrwanie stożka betonu **	20,453	37,109	56	OK
Nośność na Wyrwanie Stożka Betonu**	20,453	29,167	71	OK
Zniszczenie przez rozłupanie betonu**	20,453	61,023	34	OK

*kotwa w najbardziej niekorzystnym położeniu **grupa kotew (kotwy rozciągane)

3.1 Nośność Stali

$N_{Rk,s}$ [kN]	$\gamma_{M,s}$	$N_{Rd,s}$ [kN]	N_{Sd} [kN]
46,000	1,500	30,667	10,226

3.2 Zniszczenie przez kombinację: wyciągnięcie kotwy-wyrwanie stożka betonu

$A_{p,N}$ [mm ²]	$A_{p,N}^0$ [mm ²]	$\tau_{Rk,ucr,25}$ [N/mm ²]	$s_{cr,Np}$ [mm]	$c_{cr,Np}$ [mm]	c_{min} [mm]
97990	108900	13,00	330	165	74
ψ_c	$\tau_{Rk,ucr}$ [N/mm ²]	k	$\psi_{g,Np}^0$	$\psi_{g,Np}$	
1,000	13,00	3,200	1,000	1,000	
$e_{c1,N}$ [mm]	$\psi_{ec1,Np}$	$e_{c2,N}$ [mm]	$\psi_{ec2,Np}$	$\psi_{s,Np}$	$\psi_{re,Np}$
0	1,000	0	1,000	0,835	1,000
$N_{Rk,p}^0$ [kN]	$N_{Rk,p}$ [kN]	$\gamma_{M,p}$	$N_{Rd,p}$ [kN]	N_{Sd} [kN]	
74,126	55,664	1,500	37,109	20,453	

3.3 Nośność na Wyrwanie Stożka Betonu

$A_{c,N}$ [mm ²]	$A_{c,N}^0$ [mm ²]	$c_{cr,N}$ [mm]	$s_{cr,N}$ [mm]			
97990	108900	165	330			
$e_{c1,N}$ [mm]	$\psi_{ec1,N}$	$e_{c2,N}$ [mm]	$\psi_{ec2,N}$	$\psi_{s,N}$	$\psi_{re,N}$	k_1
0	1,000	0	1,000	0,835	1,000	10,100
$N_{Rk,c}^0$ [kN]	$\gamma_{M,c}$	$N_{Rd,c}$ [kN]	N_{Sd} [kN]			
58,261	1,500	29,167	20,453			

3.4 Zniszczenie przez rozłupanie betonu

$A_{c,N}$ [mm ²]	$A_{c,N}^0$ [mm ²]	$c_{cr,sp}$ [mm]	$s_{cr,sp}$ [mm]	$\psi_{h,sp}$		
65320	48400	110	220	1,291		
$e_{c1,N}$ [mm]	$\psi_{ec1,N}$	$e_{c2,N}$ [mm]	$\psi_{ec2,N}$	$\psi_{s,N}$	$\psi_{re,N}$	k_1
0	1,000	0	1,000	0,902	1,000	10,100
$N_{Rk,c}^0$ [kN]	$\gamma_{M,sp}$	$N_{Rd,sp}$ [kN]	N_{Sd} [kN]			
58,261	1,500	61,023	20,453			

Firma: Pro-Kor
Projektant:
Adres:
Telefon i Faks: |
E-mail:

Strona: 3
Projekt: Przychodnia Dobrzejewi
Nr i poz. sub-projektu: RK100_DÓŁ
Data: 14.12.2019

4 Obciążenie ścinające (Rozdział 5.2.3 Raportu Technicznego EOTA TR 029)

	Obciążenie [kN]	Wartość [kN]	Wykorzystanie β_v [%]	Status
Nośność Stali (bez udziału momentu zginającego)*	2,400	18,400	14	OK
Zniszczenie stali (przy udziale momentu zginającego)*	N/A	N/A	N/A	N/A
Nośność na Wylupanie**	4,800	58,334	9	OK
Zniszczenie krawędzi betonu w kierunku x^{+} **	4,800	24,014	20	OK

*kotwa w najbardziej niekorzystnym położeniu **grupa kotew (istotne kotwy)

4.1 Nośność Stali (bez udziału momentu zginającego)

$V_{Rk,s}$ [kN]	$\gamma_{M,s}$	$V_{Rd,s}$ [kN]	V_{Sd} [kN]
23,000	1,250	18,400	2,400

4.2 Nośność na Wylupanie (dotyczy wyrwania betonu)

$A_{c,N}$ [mm ²]	$A_{c,N}^0$ [mm ²]	$c_{cr,N}$ [mm]	$s_{cr,N}$ [mm]	k-factor	k_1	
97990	108900	165	330	2,000	10,100	
$e_{c1,v}$ [mm]	$\psi_{ec1,N}$	$e_{c2,v}$ [mm]	$\psi_{ec2,N}$	$\psi_{s,N}$	$\psi_{re,N}$	$N_{Rk,c}^0$ [kN]
0	1,000	0	1,000	0,835	1,000	58,261
$\gamma_{M,c,p}$	$V_{Rd,c1}$ [kN]	V_{Sd} [kN]				
1,500	58,334	4,800				

4.3 Zniszczenie krawędzi betonu w kierunku x^{+}

h_{ef} [mm]	d_{nom} [mm]	k_1	α	β	
110	16,5	2,400	0,079	0,062	
c_1 [mm]	$A_{c,v}$ [mm ²]	$A_{c,v}^0$ [mm ²]			
176	127250	139392			
$\psi_{s,v}$	$\psi_{h,v}$	$\psi_{a,v}$	$e_{c,v}$ [mm]	$\psi_{ec,v}$	$\psi_{re,v}$
0,819	1,028	1,000	0	1,000	1,000
$V_{Rk,c}^0$ [kN]	$\gamma_{M,c}$	$V_{Rd,c}$ [kN]	V_{Sd} [kN]		
46,865	1,500	24,014	4,800		

5 Kombinacja obciążeń rozciągającego i ścinającego (Rozdział 5.2.4 Raportu Technicznego EOTA TR 029)

β_N	β_v	α	Wykorzystanie $\beta_{N,v}$ [%]	Status
0,701	0,200	1,500	68	OK

$$\beta_N^a + \beta_v^a \leq 1$$

6 Przemieszczenia (najbardziej obciążona kotwa)

Obciążenia krótkotrwałe:

N_{Sk} = 7,575 [kN]	δ_N = 0,066 [mm]
V_{Sk} = 1,778 [kN]	δ_v = 0,107 [mm]
	δ_{Nv} = 0,126 [mm]

Obciążenia długotrwałe:

N_{Sk} = 7,575 [kN]	δ_N = 0,120 [mm]
V_{Sk} = 1,778 [kN]	δ_v = 0,142 [mm]
	δ_{Nv} = 0,186 [mm]

Uwagi: Przemieszczenia pod wpływem sił rozciągających obowiązują przy połowie wartości wymaganego montażowego momentu dokręcającego dla strefa ściskana betonu! Przemieszczenia pod wpływem sił ścinających obowiązują bez tarcia pomiędzy betonem i blachą czołową! Szczeliny wynikające z tolerancji dla wierconego otworu i otworu przelotowego nie zostały uwzględnione w obliczeniach!

Dopuszczalne przemieszczenia kotwy zależą od typu mocowanej konstrukcji i muszą być określone przez projektanta!

Firma: Pro-Kor
Projektant:
Adres:
Telefon i Faks: |
E-mail:

Strona: 4
Projekt: Przychodnia Dobrzejewi
Nr i poz. sub-projektu: RK100_DÓŁ
Data: 14.12.2019

7 Ostrzeżenia

- Aby uniknąć awarii blachy czołowej wymagana grubość płyty może być obliczona za pomocą PROFIS Anchor. Re-dystrybucja obciążeń na kotwy, wynikających z odkształceń sprężystych blachy czołowej nie są rozpatrywane. Zakłada się, że blacha czołowa jest wystarczająco sztywna, aby nie uległa deformacji gdy zostanie poddana obciążeniu!
- Sprawdzenie przekazywania obciążeń na podłoże jest wymagane zgodnie z Rozdziałem 7 Raportu Technicznego TR029 EOTA!
- Obliczenia są ważne wyłącznie wtedy, gdy średnica otworu przelotowego w elemencie mocowanym nie jest większa, niż wartość podana w Tabeli 4.1 Raportu Technicznego TR029 wydanego przez EOTA! W przypadku otworów przelotowych o większych średnicach należy zapoznać się z Rozdziałem 1.1. Raportu Technicznego TR029 EOTA!
- Lista akcesoriów w raporcie podana została informacyjnie. W każdym przypadku instrukcje zamieszczone przy produkcie muszą być przestrzegane, aby montaż był wykonany prawidłowo.
- Czyszczenie wywierconego otworu musi być przeprowadzone zgodnie z instrukcją użytkowania (4-krotne wydmuchanie ręczną pompką, 4-krotne szczotkowanie, ponowne 4-krotne wydmuchanie ręczną pompką).
- Nośność charakterystyczna wiązania chemicznego zależy od krótko- i długoterminowych oddziaływań temperatur.
- Dla zabezpieczenia elementu betonowego przed zniszczeniem przez rozłupanie wymagane jest następujące zbrojenie równoległe do krawędzi

Zamocowanie spełnia wymogi projektu!

Firma: Pro-Kor
 Projektant:
 Adres:
 Telefon i Faks: |
 E-mail:

Strona: 5
 Projekt: Przychodnia Dobrzejewi
 Nr i poz. sub-projektu: RK100_DÓŁ
 Data: 14.12.2019

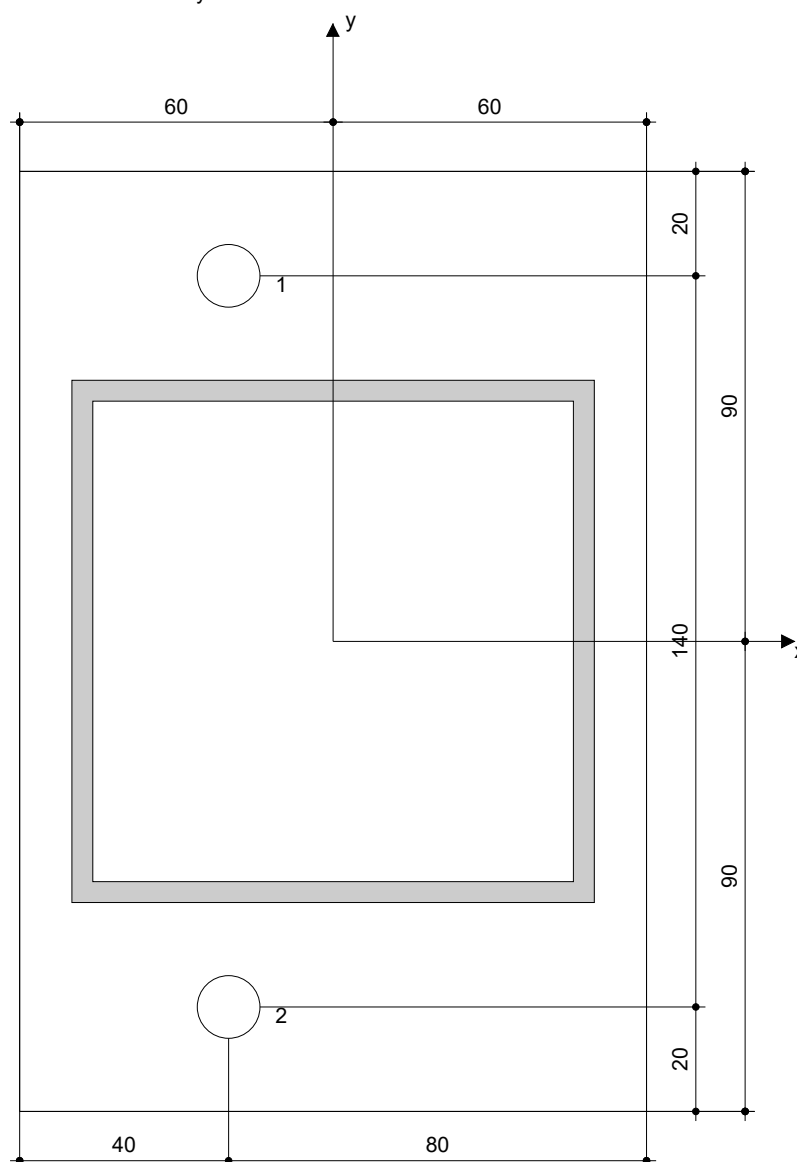
8 Dane montażowe

Blacha czołowa, stal: -
 Profil: Rura kwadratowa; 100 x 100 x 4 mm
 Średnica otworu w elemencie mocowanym: $d_f = 12$ mm
 Grubość blachy (wprowadzona): 10 mm
 Zalecana grubość blachy czołowej: nie obliczone
 Czyszczenie otworu: Wymagane jest ręczne czyszczenie wywierconego otworu zgodnie z instrukcją użytkowania.

Typ i średnica kotwy: HIT-HY 200-A + HIS-N (8.8), M10
 Montażowy moment dokręcający: 0,020 kNm
 Średnica otworu w podłożu: 18 mm
 Głębokość otworu w podłożu: 110 mm
 Minimalna grubość podłoża: 150 mm

8.1 Wymagane akcesoria

Wiercenie	Czyszczenie	Instalacja
<ul style="list-style-type: none"> Młot udarowy Odpowiednio dobrana średnica wiertła 	<ul style="list-style-type: none"> Pompka ręczna Szczotka czyszcząca odpowiedniej średnicy 	<ul style="list-style-type: none"> Dozownik żywicy z kasetą i mieszaczem Klucz dynamometryczny



Współrzędne kotew [mm]

Kotwa	x	y	C _{-x}	C _{+x}	C _{-y}	C _{+y}
1	-20	70	74	176	245	1800
2	-20	-70	74	176	105	1940

Firma: Pro-Kor
Projektant:
Adres:
Telefon i Faks: |
E-mail:

Strona: 6
Projekt: Przychodnia Dobrzejewi
Nr i poz. sub-projektu: RK100_DÓŁ
Data: 14.12.2019

9 Uwagi; Obowiązki współpracy

- Jakiegokolwiek informacje i dane zawarte w Oprogramowaniu dotyczą wyłącznie użytkowania produktów Hilti i są oparte na zasadach, formułach i przepisach bezpieczeństwa zgodnie z wytycznymi technicznymi oraz instrukcjami obsługi, montażu i instalacji firmy Hilti, które użytkownik musi ściśle przestrzegać. Wszystkie dane cyfrowe zawarte w tym dokumencie są cyframi średnimi, i – w związku z tym - testy właściwe dla zastosowania będą przeprowadzone przed użyciem stosownego produktu Hilti. Wyniki obliczeń przeprowadzonych przy pomocy Oprogramowania są oparte zasadniczo na danych wprowadzonych przez Państwo. W związku z tym, ponosicie Państwo wyłączną odpowiedzialność błędy, kompletność i stosowność danych wprowadzanych przez was. Ponadto, ponosicie Państwo wyłączną odpowiedzialność za sprawdzenie i uznanie wyników obliczeń przez eksperta, w szczególności w odniesieniu do zgodności ze stosownymi normami i pozwoleniami, przed ich zastosowaniem w waszym określonym miejscu. Oprogramowanie służy wyłącznie jako pomoc w interpretowaniu norm i pozwoleń, bez jakiegokolwiek gwarancji dotyczącej braku błędów, prawidłowości i stosowności wyników lub ich odpowiedniości w określonej aplikacji.
- Musicie Państwo podjąć wszelkie niezbędne i stosowne kroki, aby uniknąć lub ograniczyć szkody spowodowane Oprogramowaniem. W szczególności, musicie ustalić regularne archiwizowanie programów i danych oraz, gdy stosowne, przeprowadzać aktualizacje Oprogramowania oferowane regularnie przez firmę Hilti. W przypadku, gdy nie korzystacie Państwo z funkcji AutoUpdate (automatyczna aktualizacja) Oprogramowania, musicie zapewnić, że stosujecie aktualną wersję Oprogramowania w każdym przypadku poprzez przeprowadzanie aktualizacji ręcznych z witryny internetowej firmy Hilti. Firma Hilti nie będzie odpowiedzialna za konsekwencje, takie jak odtworzenie utraconych lub uszkodzonych danych lub programów, powstałe z naruszenia obowiązku zawinionego przez Państwo.

Firma:	Pro-Kor
Projektant:	
Adres:	
Telefon i Faks:	
E-mail:	

Strona:	1
Projekt:	Przychodnia Dobrzejewi
Nr i poz. sub-projektu:	RK100_GÓRA
Data:	14.12.2019

Uwagi projektanta:

1 Wprowadzane dane

Typ i średnica kotwy:

HIT-HY 200-A + HIS-N (8.8) M10

Czynna głębokość zakotwienia:

$$h_{\text{ef act}} = 110 \text{ mm}, h_{\text{nom}} = 110 \text{ mm}$$

Materiál:

8.8

Raport instytucji aprobującej::

ETA 11/0493

Wydanie i Ważność:

08.08.2012 | 23.12.2016

Obliczenia:

metoda wymiarowania ETAG BOND; Raport Techniczny EOTA TR 029

Montaż dystansowy:

$e_b = 0$ mm (brak dystansu); $t = 10$ mm

Blacha czołowa:

$l_x \times l_y \times t = 120 \text{ mm} \times 180 \text{ mm} \times 10 \text{ mm}$; (Zalecana grubość blachy czołowej: nie obliczone)

Profil:

Rura kwadratowa; (Dł. x Szer. x Gr.) = 100 mm x 100 mm x 4 mm

Materiał podłoża:

strefa ściskana beton, C20/25, $f_{cc} = 25,00 \text{ N/mm}^2$; $h = 250 \text{ mm}$,

Montaž:

otwór wiercony udarowo, warunki montażu: suchy

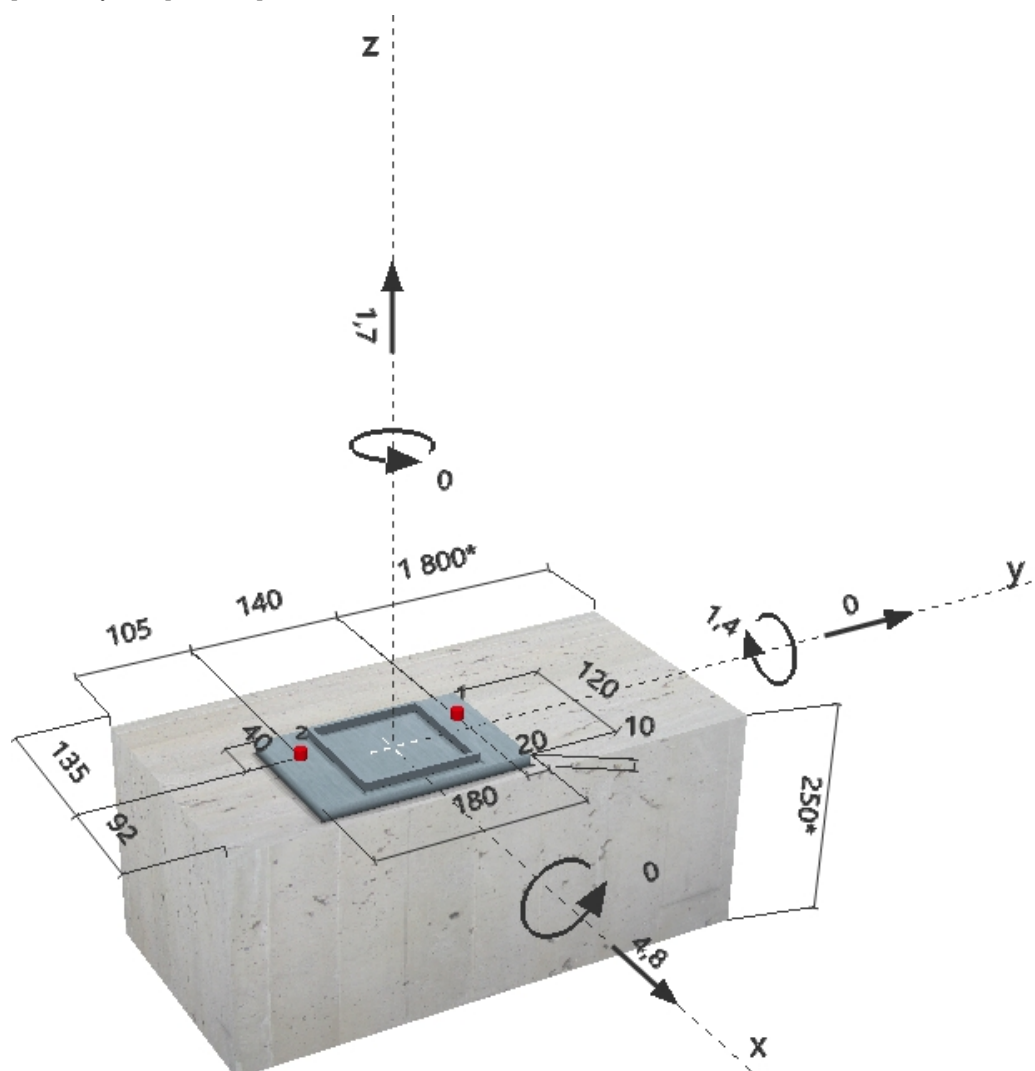
Zbrojenie:

rozstaw zbrojenia < 150 mm (wszystkie Ø) lub < 100 mm (Ø ≤ 10 mm)

ze zbrojeniem podłużnym krawędzi $d \geq 12$ + zagęszczona siatka (strzemiona, wieszaki) $s \leq$



Geometria [mm] & Obciążenie [kN, kNm]



Firma: Pro-Kor
 Projektant:
 Adres:
 Telefon i Faks: |
 E-mail:

Strona: 2
 Projekt: Przychodnia Dobrzejewi
 Nr i poz. sub-projektu: RK100_GÓRA
 Data: 14.12.2019

2 Przypadek obciążeń/Wynikowe siły w kotwach

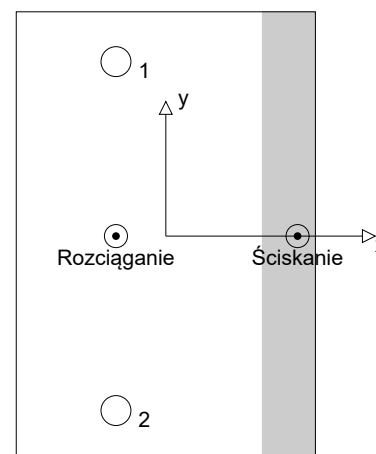
Przypadek obciążeń: Obciążenia obliczeniowe

Reakcje w kotwach [kN]

Siła rozciągająca: (+Odrywanie, -Docisk)

Kotwa	Siła rozciągająca	Siła ścinająca	Siła ścinająca X	Siła ścinająca Y
1	10,226	2,400	2,400	0,000
2	10,226	2,400	2,400	0,000

maks. odkształcenia betonu przy ścinaniu: 0,32 [%]
 maks. naprężenia w betonie przy ścinaniu: 9,70 [N/mm²]
 wypadkowa siła rozciągająca w (x/y)=(-20/0): 20,453 [kN]
 wypadkowa siła ściskająca w (x/y)=(53/0): 18,753 [kN]



3 Obciążenie rozciągające (Rozdział 5.2.2 Raportu Technicznego EOTA TR 029)

	Obciążenie [kN]	Wartość [kN]	Wykorzystanie β_N [%]	Status
Nośność Stali*	10,226	30,667	34	OK
Zniszczenie przez kombinację: wyciągnięcie kotwy-wyrwanie stożka betonu **	20,453	41,107	50	OK
Nośność na Wyrwanie Stożka Betonu**	20,453	29,225	70	OK
Zniszczenie przez rozłupanie betonu**	20,453	70,640	29	OK

*kotwa w najbardziej niekorzystnym położeniu **grupa kotew (kotwy rozciągane)

3.1 Nośność Stali

$N_{Rk,s}$ [kN]	$\gamma_{M,s}$	$N_{Rd,s}$ [kN]	N_{Sd} [kN]
46,000	1,500	30,667	10,226

3.2 Zniszczenie przez kombinację: wyciągnięcie kotwy-wyrwanie stożka betonu

$A_{p,N}$ [mm ²]	$A_{p,N}^0$ [mm ²]	$\tau_{Rk,ucr,25}$ [N/mm ²]	$s_{cr,Np}$ [mm]	$c_{cr,Np}$ [mm]	c_{min} [mm]
86260	72900	13,00	330	165	92
h_{ef} [mm]	$c'_{cr,Np}$ [mm]	$s'_{cr,Np}$ [mm]			
90	135	270			
ψ_c	$\tau_{Rk,ucr}$ [N/mm ²]	k	$\psi_{g,Np}^0$	$\psi_{g,Np}$	
1,000	13,00	3,200	1,000	1,000	
$e_{c1,N}$ [mm]	$\psi_{ec1,Np}$	$e_{c2,N}$ [mm]	$\psi_{ec2,Np}$	$\psi_{s,Np}$	$\psi_{re,Np}$
0	1,000	0	1,000	0,904	0,950
$N_{Rk,p}^0$ [kN]	$N_{Rk,p}$ [kN]	$\gamma_{M,p}$	$N_{Rd,p}$ [kN]	N_{Sd} [kN]	
60,648	61,661	1,500	41,107	20,453	

3.3 Nośność na Wyrwanie Stożka Betonu

$A_{c,N}$ [mm ²]	$A_{c,N}^0$ [mm ²]	$c_{cr,N}$ [mm]	$s_{cr,N}$ [mm]			
86260	72900	165	330			
h_{ef} [mm]	$c'_{cr,N}$ [mm]	$s'_{cr,N}$ [mm]				
90	135	270				
$e_{c1,N}$ [mm]	$\psi_{ec1,N}$	$e_{c2,N}$ [mm]	$\psi_{ec2,N}$	$\psi_{s,N}$	$\psi_{re,N}$	k_1
0	1,000	0	1,000	0,904	0,950	10,100
$N_{Rk,c}^0$ [kN]	$\gamma_{M,c}$	$N_{Rd,c}$ [kN]	N_{Sd} [kN]			
43,118	1,500	29,225	20,453			

Firma: Pro-Kor
 Projektant:
 Adres:
 Telefon i Faks: |
 E-mail:

Strona: 3
 Projekt: Przychodnia Dobrzejewi
 Nr i poz. sub-projektu: RK100_GÓRA
 Data: 14.12.2019

3.4 Zniszczenie przez rozłupanie betonu

$A_{c,N}$ [mm ²]	$A_{c,N}^0$ [mm ²]	$c_{cr,sp}$ [mm]	$s_{cr,sp}$ [mm]	$\psi_{h,sp}$		
71710	48400	110	220	1,291		
$e_{c1,N}$ [mm]	$\psi_{ec1,N}$	$e_{c2,N}$ [mm]	$\psi_{ec2,N}$	$\psi_{s,N}$	$\psi_{re,N}$	k_1
0	1,000	0	1,000	0,951	1,000	10,100
$N_{RK,c}^0$ [kN]	$\gamma_{M,sp}$	$N_{Rd,sp}$ [kN]	N_{Sd} [kN]			
58,261	1,500	70,640	20,453			

Firma: Pro-Kor
Projektant:
Adres:
Telefon i Faks: |
E-mail:

Strona: 4
Projekt: Przychodnia Dobrzejewi
Nr i poz. sub-projektu: RK100_GÓRA
Data: 14.12.2019

4 Obciążenie ścinające (Rozdział 5.2.3 Raportu Technicznego EOTA TR 029)

	Obciążenie [kN]	Wartość [kN]	Wykorzystanie β_v [%]	Status
Nośność Stali (bez udziału momentu zginającego)*	2,400	18,400	14	OK
Zniszczenie stali (przy udziale momentu zginającego)*	N/A	N/A	N/A	N/A
Nośność na Wylupanie**	4,800	58,450	9	OK
Zniszczenie krawędzi betonu w kierunku x^{+} **	4,800	17,243	28	OK

*kotwa w najbardziej niekorzystnym położeniu **grupa kotew (istotne kotwy)

4.1 Nośność Stali (bez udziału momentu zginającego)

$V_{Rk,s}$ [kN]	$\gamma_{M,s}$	$V_{Rd,s}$ [kN]	V_{Sd} [kN]
23,000	1,250	18,400	2,400

4.2 Nośność na Wylupanie (dotyczy wyrwania betonu)

$A_{c,N}$ [mm ²]	$A_{c,N}^0$ [mm ²]	$c_{cr,N}$ [mm]	$s_{cr,N}$ [mm]	k-factor	k_1	
86260	72900	165	330	2,000	10,100	
h_{ef} [mm]	$c_{cr,N}$ [mm]	$s_{cr,N}$ [mm]				
90	135	270				
$e_{c1,V}$ [mm]	$\psi_{ec1,N}$	$e_{c2,V}$ [mm]	$\psi_{ec2,N}$	$\psi_{s,N}$	$\psi_{re,N}$	$N_{Rk,c}^0$ [kN]
0	1,000	0	1,000	0,904	0,950	43,118
$\gamma_{M,c,p}$	$V_{Rd,c1}$ [kN]	V_{Sd} [kN]				
1,500	58,450	4,800				

4.3 Zniszczenie krawędzi betonu w kierunku x^{+}

h_{ef} [mm]	d_{nom} [mm]	k_1	α	β	
110	16,5	2,400	0,109	0,071	
c_1 [mm]	$A_{c,V}$ [mm ²]	$A_{c,V}^0$ [mm ²]			
92	52854	38088			
$\psi_{s,V}$	$\psi_{h,V}$	$\psi_{o,V}$	$e_{c,V}$ [mm]	$\psi_{ec,V}$	$\psi_{re,V}$
0,928	1,000	1,000	0	1,000	1,000
$V_{Rk,c}^0$ [kN]	$\gamma_{M,c}$	$V_{Rd,c}$ [kN]	V_{Sd} [kN]		
20.080	1.500	17.243	4.800		

5 Kombinacja obciążeń rozciągającego i ścinającego (Rozdział 5.2.4 Raportu Technicznego EOTA TR 029)

β_N	β_V	α	Wykorzystanie $\beta_{N,V}$ [%]	Status
0,700	0,278	1,500	74	OK

$$\beta_N^{\alpha} + \beta_V^{\alpha} \leq 1$$

Firma: Pro-Kor
Projektant:
Adres:
Telefon i Faks: |
E-mail:

Strona: 5
Projekt: Przychodnia Dobrzejewi
Nr i poz. sub-projektu: RK100_GÓRA
Data: 14.12.2019

6 Przemieszczenia (najbardziej obciążona kotwa)

Obciążenia krótkotrwałe:

N_{Sk}	=	7,575 [kN]	δ_N	=	0,066 [mm]
V_{Sk}	=	1,778 [kN]	δ_V	=	0,107 [mm]
			δ_{NV}	=	0,126 [mm]

Obciążenia długotrwałe:

N_{Sk}	=	7,575 [kN]	δ_N	=	0,120 [mm]
V_{Sk}	=	1,778 [kN]	δ_V	=	0,142 [mm]
			δ_{NV}	=	0,186 [mm]

Uwagi: Przemieszczenia pod wpływem sił rozciągających obowiązują przy połowie wartości wymaganego montażowego momentu dokręcającego dla strefa ściskana betonu! Przemieszczenia pod wpływem sił ścinających obowiązują bez tarcia pomiędzy betonem i blachą czołową! Szczeliny wynikające z tolerancji dla wierconego otworu i otworu przelotowego nie zostały uwzględnione w obliczeniach!

Dopuszczalne przemieszczenia kotwy zależą od typu mocowanej konstrukcji i muszą być określone przez projektanta!

7 Ostrzeżenia

- Aby uniknąć awarii blachy czołowej wymagana grubość płyty może być obliczona za pomocą PROFIS Anchor. Re-dystrybucja obciążeń na kotwy, wynikających z odkształceń sprężystych blachy czołowej nie są rozpatrywane. Zakłada się, że blacha czołowa jest wystarczająco sztywna, aby nie uległa deformacji gdy zostanie poddana obciążeniu!
- Sprawdzenie przekazywania obciążeń na podłoże jest wymagane zgodnie z Rozdziałem 7 Raportu Technicznego TR029 EOTA!
- Obliczenia są ważne wyłącznie wtedy, gdy średnica otworu przelotowego w elemencie mocowanym nie jest większa, niż wartość podana w Tabeli 4.1 Raportu Technicznego TR029 wydanego przez EOTA! W przypadku otworów przelotowych o większych średnicach należy zapoznać się z Rozdziałem 1.1. Raportu Technicznego TR029 EOTA!
- Lista akcesoriów w raporcie podana została informacyjnie. W każdym przypadku instrukcje zamieszczone przy produkcie muszą być przestrzegane, aby montaż był wykonany prawidłowo.
- Czyszczenie wywierconego otworu musi być przeprowadzone zgodnie z instrukcją użytkowania (4-krotne wydmuchanie ręczną pompką, 4-krotne szczotkowanie, ponowne 4-krotne wydmuchanie ręczną pompką).
- Nośność charakterystyczna wiązania chemicznego zależy od krótko- i długoterminowych oddziaływań temperatur.
- Dla zabezpieczenia elementu betonowego przed zniszczeniem przez rozłupanie wymagane jest następujące zbrojenie równoległe do krawędzi

Zamocowanie spełnia wymogi projektu!

Firma: Pro-Kor
 Projektant:
 Adres:
 Telefon i Faks: |
 E-mail:

Strona: 6
 Projekt: Przychodnia Dobrzejewi
 Nr i poz. sub-projektu: RK100_GÓRA
 Data: 14.12.2019

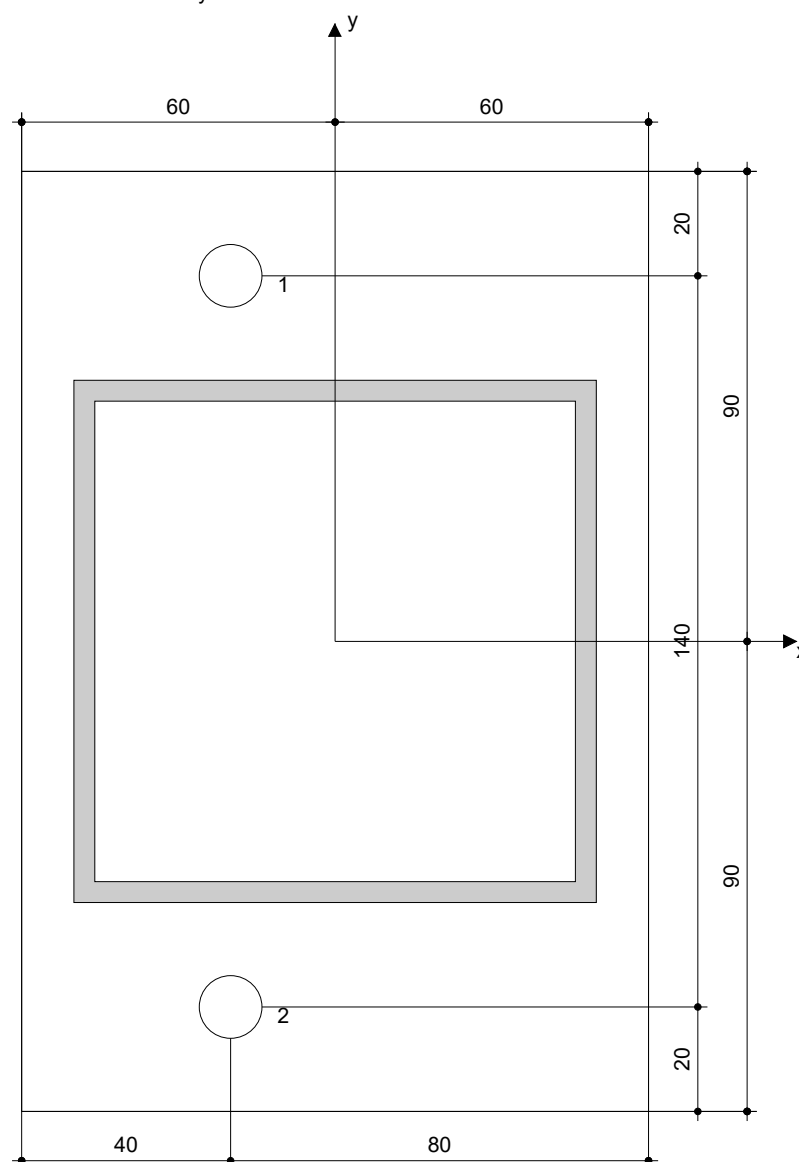
8 Dane montażowe

Blacha czołowa, stal: -
 Profil: Rura kwadratowa; 100 x 100 x 4 mm
 Średnica otworu w elemencie mocowanym: $d_f = 12$ mm
 Grubość blachy (wprowadzona): 10 mm
 Zalecana grubość blachy czołowej: nie obliczone
 Czyszczenie otworu: Wymagane jest ręczne czyszczenie wywierconego otworu zgodnie z instrukcją użytkowania.

Typ i średnica kotwy: HIT-HY 200-A + HIS-N (8.8), M10
 Montażowy moment dokręcający: 0,020 kNm
 Średnica otworu w podłożu: 18 mm
 Głębokość otworu w podłożu: 110 mm
 Minimalna grubość podłoża: 150 mm

8.1 Wymagane akcesoria

Wiercenie	Czyszczenie	Instalacja
<ul style="list-style-type: none"> Młot udarowy Odpowiednio dobrana średnica wiertła 	<ul style="list-style-type: none"> Pompka ręczna Szczotka czyszcząca odpowiedniej średnicy 	<ul style="list-style-type: none"> Dozownik żywicy z kasetą i mieszaczem Klucz dynamometryczny



Współrzędne kotew [mm]

Kotwa	x	y	C _{-x}	C _{+x}	C _{-y}	C _{+y}
1	-20	70	135	92	245	1800
2	-20	-70	135	92	105	1940

Firma: Pro-Kor
Projektant:
Adres:
Telefon i Faks: |
E-mail:

Strona: 7
Projekt: Przychodnia Dobrzejewi
Nr i poz. sub-projektu: RK100_GÓRA
Data: 14.12.2019

9 Uwagi; Obowiązki współpracy

- Jakiegokolwiek informacje i dane zawarte w Oprogramowaniu dotyczą wyłącznie użytkowania produktów Hilti i są oparte na zasadach, formułach i przepisach bezpieczeństwa zgodnie z wytycznymi technicznymi oraz instrukcjami obsługi, montażu i instalacji firmy Hilti, które użytkownik musi ściśle przestrzegać. Wszystkie dane cyfrowe zawarte w tym dokumencie są cyframi średnimi, i – w związku z tym - testy właściwe dla zastosowania będą przeprowadzone przed użyciem stosownego produktu Hilti. Wyniki obliczeń przeprowadzonych przy pomocy Oprogramowania są oparte zasadniczo na danych wprowadzonych przez Państwo. W związku z tym, ponosicie Państwo wyłączną odpowiedzialność błędy, kompletność i stosowność danych wprowadzanych przez was. Ponadto, ponosicie Państwo wyłączną odpowiedzialność za sprawdzenie i uznanie wyników obliczeń przez eksperta, w szczególności w odniesieniu do zgodności ze stosownymi normami i pozwoleniami, przed ich zastosowaniem w waszym określonym miejscu. Oprogramowanie służy wyłącznie jako pomoc w interpretowaniu norm i pozwoleń, bez jakiegokolwiek gwarancji dotyczącej braku błędów, prawidłowości i stosowności wyników lub ich odpowiedniości w określonej aplikacji.
- Musicie Państwo podjąć wszelkie niezbędne i stosowne kroki, aby uniknąć lub ograniczyć szkody spowodowane Oprogramowaniem. W szczególności, musicie ustalić regularne archiwizowanie programów i danych oraz, gdy stosowne, przeprowadzać aktualizacje Oprogramowania oferowane regularnie przez firmę Hilti. W przypadku, gdy nie korzystacie Państwo z funkcji AutoUpdate (automatyczna aktualizacja) Oprogramowania, musicie zapewnić, że stosujecie aktualną wersję Oprogramowania w każdym przypadku poprzez przeprowadzanie aktualizacji ręcznych z witryny internetowej firmy Hilti. Firma Hilti nie będzie odpowiedzialna za konsekwencje, takie jak odtworzenie utraconych lub uszkodzonych danych lub programów, powstałe z naruszenia obowiązku zawinionego przez Państwo.

V.RYSUNKI